

2413



UNIVERSIDAD NACIONAL AUTONOMA DE MEXICO

FACULTAD DE QUIMICA

TECNICAS DE SOLUCION DE ECUACIONES DIFERENCIALES PARCIALES APLICADAS EN INGENIERIA QUIMICA



EXAMENES PROFESIONALES FAC. DE QUIMICA

T E S I S

QUE PARA OBTENER EL TITULO DE: INGENIERO QUIMICO PRESENTA:

MARGARITO DEMETRIO AGUILAR DOMINGUEZ

TESIS CON FALLA DE ORIGEN

MEXICO, D. F.

1988



UNAM – Dirección General de Bibliotecas Tesis Digitales Restricciones de uso

DERECHOS RESERVADOS © PROHIBIDA SU REPRODUCCIÓN TOTAL O PARCIAL

Todo el material contenido en esta tesis está protegido por la Ley Federal del Derecho de Autor (LFDA) de los Estados Unidos Mexicanos (México).

El uso de imágenes, fragmentos de videos, y demás material que sea objeto de protección de los derechos de autor, será exclusivamente para fines educativos e informativos y deberá citar la fuente donde la obtuvo mencionando el autor o autores. Cualquier uso distinto como el lucro, reproducción, edición o modificación, será perseguido y sancionado por el respectivo titular de los Derechos de Autor.

INDICE	PAG.
CAPITULO I.	
Introducción	6
CAPITULO II.	
GENERALIDADES SOBRE ECUACIONES DIFERENCIALES PARCIALES (EDP)	
2.1 Dominio y solución de una EDP	9
2.2 Linealidad y orden de una EDP	10
2.3 Clasificación de una EDP	11
CAPITULO III.	
GENERALIDADES SOBRE MODELOS DE EDP UTILIZADOS EN ING. QUÍMICA	
3.1 Elemento diferencial	15
3.2 Propiedad puntual	15
3.3 Balance de energía diferencial	20
3.4 Condiciones en la frontera	21
CAPITULO IV.	
MÉTODOS DE SOLUCIÓN DE EDP	
4.1 Separación de variables	24
4.2 Transformada de Laplace	27
4.3 Diferencias finitas	35
4.4 Elemento finito	41
4.5 Curvas características	47
CAPITULO V.	
ALGORITMOS Y PROGRAMAS DE LOS SISTEMAS PROPUESTOS	55

CAPITULO VI. APLICACIONES.

6.1 Calculo de los perfiles radiales y axiales de conversión y temperatura en reactores catalíticos tubulares.	91
6.2 Calculo de la distribución de temperaturas en placas metálicas.	125

CAPITULO VII.

Conclusiones y recomendaciones para la selección de los métodos numéricos.	129
--	-----

APENDICE.

Condiciones de convergencia y estabilidad de sistemas lineales.	132
Tabla de transformadas de Laplace.	136

I N T R O D U C C I O N :

La Ingeniería Química aplica los principios Científicos, Económicos y Sociales en el diseño de procesos y equipo de proceso, con los cuales se transforma la materia, ya sea en su composición, estado físico o contenido de energía, generando bienes económicos y sociales. En la etapa de diseño se idealiza el comportamiento de equipo mediante modelos matemáticos, cuya solución se acepta como una buena aproximación del comportamiento real y es utilizada para dimensionar el equipo.

Los modelos matemáticos más comunes en procesos químicos de contacto continuo, son Ecuaciones Diferenciales Parciales (EDP) que en general, no tienen solución analítica o es muy complicado el obtener dicha solución; para facilitar la solución del problema se simplifica el modelo matemático a un nivel tal que, se puede obtener una solución analítica; sin embargo la solución así obtenida puede no representar correctamente el comportamiento del equipo. Esta problemática puede ser evitada haciendo uso de técnicas numéricas las cuales, no involucren alguna simplificación del modelo matemático del proceso de tal manera que, la solución se aproxime al comportamiento real.

El presente trabajo se ha elaborado como un apoyo didáctico,

para la resolución de problemas que involucren EDP utilizando Técnicas Numéricas programadas en lenguaje BASIC. El uso de computadoras evita que el usuario deba tener una formación avanzada en matemáticas para resolver problemas de interés inmediato, fortaleciendo su formación en la parte fenomenológica de la Ingeniería Química.

CAPITULO II

GENERALIDADES

GENERALIDADES SOBRE ECUACIONES DIFERENCIALES PARCIALES

Una EDP es una regla de correspondencia, la cual relaciona una función desconocida con las derivadas parciales (respecto a dos o más variables independientes) de dicha función.

A continuación se presentan algunos aspectos importantes de éste tipo de ecuaciones.

El DOMINIO de una EDP es una región definida y delimitada, por los valores que se asignan a las variables independientes de la ecuación diferencial.

Las condiciones en la frontera e iniciales, son funciones o ecuaciones diferenciales definidas sobre el contorno del dominio de la EDP.

Considerese la siguiente EDP definida sobre el dominio "D"

$$F(x,y,U,U_x,U_{xx},U_{xy}) = 0 \quad \dots (i)$$

la SOLUCION de la ecuación anterior, es cualquier función $U(x,y)$ cuyas derivadas parciales U_x, U_{xx}, U_{xy} existen en cada punto (x,y) del dominio "D" (excepto quizás en la frontera) y que al ser sustituidas en la ecuación diferencial, se cumple la identidad (i).

LINEALIDAD Y ORDEN. Se dice que una ecuación diferencial parcial es lineal, si está o se puede expresar en la forma:

$$A(x,y)U_{xx}+B(x,y)U_{xy}+C(x,y)U_{yy}+D(x,y)U_x+E(x,y)U_y+F(x,y)U = G(x,y)$$

una de las propiedades más importantes de la EDP lineales es la siguiente: "Si existe un conjunto de soluciones de la EDP, entonces una combinación lineal de éstas, también es una solución de la EDP".

$$U = aU_1 + bU_2 + \dots + jU_n$$

El orden de la derivada superior de una EDP, se considera como el orden de la ecuación diferencial; por ejemplo la siguiente EDP es de orden dos:

$$U_{xx} + U_y - aU = 0$$

Clasificación. En el análisis de la mayoría de sistemas dinámicos ya sean físicos, químicos, biológicos, económicos, etc. surgen EDP las cuales contienen derivadas parciales hasta de segundo orden; debido a esto las EDP de segundo orden son las más ampliamente estudiadas y es conveniente clasificar las EDP en términos de las de segundo orden.

Esta forma de clasificación es aceptable ya que las ecuaciones diferenciales de primer orden frecuentemente se pueden reducir a sistemas de ecuaciones diferenciales ordinarias y las de orden superior se estudian basándose en las técnicas existentes para las de segundo orden.

Regla del discriminante. Esta forma de clasificación se fundamenta en los operadores diferenciales siguientes:

- a) Operador de Laplace o elíptico.
- b) Operador de Difusión o parabólico.
- c) Operador D'Alembert o hiperbólico.

El operador elíptico surge en problemas donde intervienen fuerzas conservativas, se denomina frecuentemente operador de potencial. El operador parabólico surge en problemas de difusión ya sea de masa, calor o momentum.

El operador hiperbólico surge en fenómenos de carácter ondulatorio.

La regla del discriminante, establece una ecuación generalizada (i), definiendo el discriminante de dicha ecuación por (ii) y clasifica las EDP con base en el valor de su discriminante.

$$AU_{xx} + 2BU_{xy} + CU_{yy} + DU_x + EU_y + FU + G = 0 \quad (i)$$

$$\text{DISC.} = AC - B^2 \quad (ii)$$

<u>EDP</u>	<u>DISC.</u>
ELIPTICA	POSITIVO
PARABOLICO	CERO
<u>HIPERBOLICA</u>	<u>NEGATIVO</u>

Es conveniente mencionar que las EDP se han clasificado con base en su comportamiento y por lo tanto una misma ecuación se puede clasificar de diversas formas; la siguiente EDP surge en la dinámica de los gases y tiene tres comportamientos:

$$yU_{xx} + U_{yy} = 0$$

- Si $y > 0$ flujo subsónico . . . elíptica
Si $y = 0$ flujo sónico parabólica
Si $y < 0$ flujo supersónico. . . hiperbólica

C A P I T U L O I I I

G E N E R A L I D A D E S

GENERALIDADES SOBRE MODELOS DE EDP UTILIZADOS EN ING. QUÍMICA

El tratamiento matemático de los procesos químicos consta de las siguientes etapas fundamentales:

- 1) Expresión del proceso químico en lenguaje matemático.
- 2) Resolución del modelo matemático.
- 3) Interpretación de los resultados obtenidos.

Expresión del proceso químico en lenguaje matemático.

El análisis de los procesos químicos consiste en determinar, los cambios producidos sobre la materia al interaccionar con alguna forma de energía motriz, para proporcionar un material procesado. Para poder cuantificar dichos cambios, se asigna un conjunto de variables independientes y dependientes a las propiedades mensurables de la materia y energía, estableciendo además las relaciones existentes entre las variables y parámetros del proceso usando para esto, los siguientes principios fundamentales, los cuales se han comprobado experimentalmente.

- 1) Conservación de materia y energía.
- 2) Dirección natural de los procesos espontáneos.
- 3) Equilibrio fisicoquímico.
- 4) Cinética de las reacciones químicas.

El conjunto de relaciones así obtenidas se denomina MODELO MATEMÁTICO e idealiza el comportamiento real del proceso químico.

co; se pueden formular diversos modelos matemáticos de un mismo proceso dependiendo del grado de aproximación deseado.

Conceptos fundamentales para la formulación de una EDP

En sistemas macroscópicos, la naturaleza discreta de la materia y energía, se considera como una distribución continua a través del espacio y se representa por una función continua de la posición.

En los procesos químicos donde ocurren cambios continuos sobre la materia, ya sea en su composición como en su contenido de energía, la relación existente entre las variables independientes y dependientes de dicho proceso, deberá ser continua. El postulado anterior es suficiente para asegurar en términos matemáticos, la existencia de las derivadas parciales y de la diferencial de las variables dependientes.

Un ELEMENTO DIFERENCIAL es la fracción más pequeña de un sistema, el cual contiene una cantidad suficiente de moléculas, de tal forma que sea válido hacer promedios estadísticos.

Una propiedad puntual es un promedio estadístico de la cantidad de materia o energía de las moléculas, contenidas en un elemento diferencial. Para facilitar el tratamiento matemático, el concepto de elemento diferencial y propiedad puntual

se pierde como se puede observar en la siguiente definición:

$$d = \lim_{v \rightarrow v_d} (w/v)$$

$$d = \lim_{v \rightarrow 0} (w/v)$$

d densidad

v_d elemento diferencial

A continuación se presenta un problema de transferencia de calor, en el que se tratarán algunos conceptos adicionales como son: condiciones en la frontera, selección del elemento dife-rencial, discontinuidades y significado físico de la EDP aso-ciada.

Un fluido viscoso es transportado por un sistema de bombeo a través de una tubería expuesta al medio ambiente.

Se desea hacer más económico el transporte del fluido; para lograr ésto, se propone disminuir la carga de bombeo precalen-tando el fluido y aislando térmicamente la tubería.

Para evaluar si éste nuevo sistema es más económico, es nece-sario estimar la energía térmica disipada al medio ambiente y la temperatura del fluido en la salida de la tubería.

Descripción del problema.

El objetivo principal es la evaluación de las pérdidas de ener-gía a través de la tubería, para lo cual se impondrán las si-guientes condiciones:

- 1) La tubería está aislada térmicamente en forma homogénea e instalada horizontalmente.
- 2) La temperatura del medio ambiente es constante.
- 3) El régimen de flujo es laminar en estado estable.

Los resultados obtenidos solo serán una aproximación debido a que se ha idealizado el sistema. El "modelo anterior es conservativo y acepta indirectamente que el calor se transfiere por conducción, por lo tanto para cuantificar las pérdidas de energía, es suficiente aplicar un balance de energía y usar la Ley de Fourier para evaluar la velocidad de transferencia de calor en el sistema.

Análisis cualitativo preliminar. A partir de la entrada del fluido a la tubería y durante su estancia dentro de ésta, pierde energía térmica y por lo tanto disminuye su temperatura generando una distribución de temperatura en el sistema.

Mecanismos de transferencia de calor. Las condiciones (1) y (2) impuestas al sistema real, muestran que el calor se transfiere con simetría radial (fig. 1) y en la dirección axial debido al transporte de la energía inherente al flujo del fluido y por conducción (fig. 2).

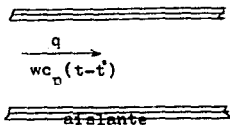
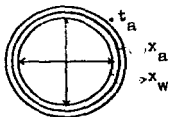


fig. 1

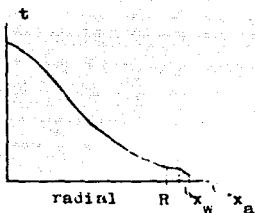
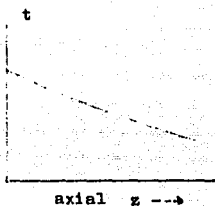


fig. 2

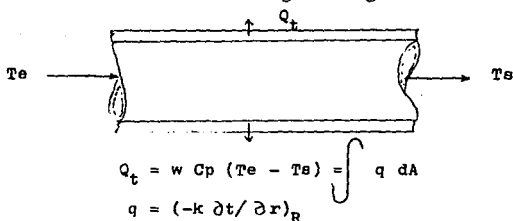


Perfiles esperados de temperatura.

Balace de energia.

La transferencia de calor en la pared de la tubería, depende del área de transferencia, del gradiente de temperatura, de las propiedades del sistema (fluido-metal-aislante) y se manifiesta en forma local en cada punto de la tubería.

Balace de energía integral.

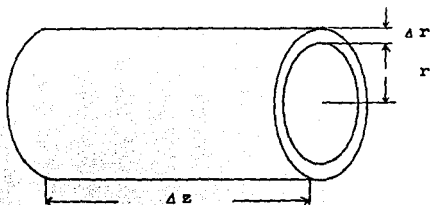


Con los datos disponibles no es posible evaluar la integral y es necesario hacer un balance diferencial de energía.

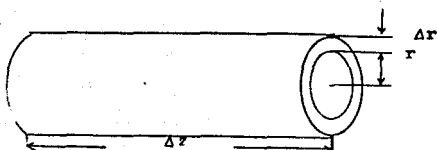
Selección del elemento diferencial. Utilizando los resultados del análisis preliminar, el elemento diferencial deberá satisfacer las siguientes condiciones:

- 1) En la frontera del elemento diferencial se deberá manifestar un flux de calor radial y axial.
- 2) Se definirá en coordenadas cilíndricas y estará orientado simétricamente (fig. 3).
- 3) Las dimensiones son arbitrarias, por lo tanto, son independientes.

El elemento diferencial que satisface éstas condiciones es un anulo concéntrico.



Balance de energía diferencial.



área de transferencia	flux	
radial $2\pi r \Delta z$	masa	$v\rho$
axial $2\pi r \Delta r$	calor radial	$-k_r \partial t / \partial r$
	calor axial	$-k_z \partial t / \partial z$
	entalpia	$v\rho H$

$$\begin{aligned}
 \text{entradas} &= \text{salidas} + \text{acumulación} \\
 v\rho H (2\pi r \Delta r)_z &= v\rho H (2\pi r \Delta r)_{z+\Delta z} \\
 &+ \\
 -k_r \partial t / \partial r (2\pi r \Delta z)_r &= -k_r \partial t / \partial r (2\pi r \Delta z)_{r+\Delta r} \\
 &+ \\
 -k_z \partial t / \partial z (2\pi r \Delta r)_z &= -k_z \partial t / \partial z (2\pi r \Delta r)_{z+\Delta z}
 \end{aligned}$$

agrupando los términos anteriores y como r z no depende de la posición, se tiene lo siguiente:

$$(v\rho H r)_{z+\Delta z} - (v\rho H r)_z) / \Delta z = (k_z r \partial t / \partial z)_{z+\Delta z} - (k_z r \partial t / \partial z)_z) / \Delta z + (k_r r \partial t / \partial r)_{r+\Delta r} - (k_r r \partial t / \partial r)_r) / \Delta r$$

en el límite cuando Δz , $\Delta r \rightarrow 0$ los términos anteriores se definen como las derivadas parciales.

$$\partial(v\rho Hr)/\partial z = \partial(k_z r \partial t/\partial z)/\partial z + \partial(k_r r \partial t/\partial r)/\partial r$$

Condiciones adicionales.

- 1) El medio es isotrópico $k_r = k_z = k$
- 2) Las propiedades del fluido se consideran constantes.
- 3) La velocidad del fluido no depende de la posición axial y la entalpia se define como $H = Cp(t-t^d)$

$$v\rho Cp \partial t/\partial z = k(\partial^2 t/\partial z^2 + \partial^2 t/\partial r^2 + \partial t/r\partial r) \dots (a)$$

La EDP anterior representa el comportamiento que deberá tener la temperatura en cada punto (r,z) de la tubería (excepto en la pared), siempre y cuando el sistema real se comporte de acuerdo al modelo propuesto ".

Condiciones en la frontera. Las condiciones en la frontera, son las interacciones del sistema real con el exterior y cualquier modelo propuesto deberá satisfacerlas; en el presente problema se tienen que cumplir las siguientes:

- 1) El flujo de calor en cada punto de la tubería es constante y se determina con las ecuaciones siguientes:

$$q = (-k \partial t/\partial r)_R dA = (T_{amb.} - t(R,z)) dA/Re$$

- 2) La temperatura de entrada es homogénea $t(r,0) = \text{constante}$

Las discontinuidades se manifiestan en las intercarras fluido-metal-aislante-medio ambiente; ésta es una de las causas principales por las que la EDP no está definida en la frontera. (ver perfil radial de temperatura).

C A P I T U L O I V

M E T O D O S D E S O L U C I O N D E E D P .

MÉTODOS DE SOLUCIÓN DE EDP.

La teoría de las EDP no está muy desarrollada, debido a esto, los métodos más importantes para resolver este tipo de ecuaciones, las transforman en sistemas de ecuaciones diferenciales ordinarias, transformadas integrales o sistemas lineales algebraicos. Los métodos considerados en el presente trabajo son los siguientes:

Analíticos

- 1.- Separación de variables.
- 2.- Transformada de Laplace.

Numéricos

- 1.- Diferencias finitas.
- 2.- Elemento finito.
- 3.- Curvas características.

SEPARACION DE VARIABLES

El método de separación de variables es aplicable a EDP lineales homogéneas cuyas condiciones en la frontera sean de la forma siguiente:

$$aU_x(0,t) + bU(0,t) = 0$$

$$cU_x(1,t) + dU(1,t) = 0$$

el método supone que la solución de la EDP es el producto de funciones de una variable independiente $U(x,t) = f(x) g(t)$ la cual al ser sustituida en dicha ecuación, genera un sistema de ecuaciones diferenciales ordinarias. Para describir el método, considerese la resolución de la ecuación de calor siguiente:

$$a^2 U_{xx} = U_t \quad 0 < x < 1 \quad ; \quad t > 0$$

$$U(x,0) = h(x) \quad 0 \leq x \leq 1$$

$$U(0,t) = 0$$

$$U(1,t) = 0 \quad t > 0$$

sea $U(x,t) = f(x) g(t)$ entonces

$$U_x = g(t)f'(x)$$

$$U_{xx} = g(t)f''(x)$$

$$U_t = f(x)g'(t)$$

al sustituir las derivadas parciales anteriores en la ecuación de calor, se obtienen las siguientes ecuaciones diferenciales ordinarias:

$$a^2 g(t) f''(x) = f(x) g'(t)$$

$$f''(x)/f(x) = g'(t)/a^2 g(t)$$

derivando parcialmente respecto a "x", se tiene:

$$(f''(x)/f(x))_x = (g'(t)/a^2 g(t))_x = 0$$

de lo anterior se deduce que

$$f''(x)/f(x) = g'(t)/a^2 g(t) = \text{constante} = b$$

$$f''(x) - bf(x) = 0 \quad \dots (1)$$

$$g'(t) - ba^2 g(t) = 0 \quad \dots (2)$$

el parámetro "b" puede ser nulo, real o imaginario y se selección depende de las condiciones en la frontera.

a) Sea $b = 0$ entonces las ecuaciones (1), (2) se reducen a:

$$f''(x) = 0 \quad ; \quad f(x) = d + mx$$

$$g'(t) = 0 \quad ; \quad g(t) = k$$

la solución de la ecuación de calor será entonces:

$$U(x,t) = k' + m'x$$

al aplicar las condiciones frontera

$$U(0,t) = 0 = k' \quad ; \quad k' = 0$$

$$U(1,t) = 0 = m'1 \quad ; \quad m' = 0$$

la solución es trivial $U(x,t) = 0$ y carece de significado físico.

b) Sea $b=-k^2$ entonces las ecuaciones (1) y (2) se definen:

$$f''(x) + k^2 f(x) = 0$$

$$g'(t) + k^2 a^2 g(t) = 0$$

se puede demostrar que la solución de la ecuación (1) que satisface las condiciones en la frontera son:

$$f(x) = K_1 \operatorname{sen} n\pi x/l$$

donde $k^2 = n^2 \pi^2/l^2$

la solución de la ecuación (2) será entonces:

$$g(t) = K_2 \exp(-(an\pi/l)^2 t)$$

la solución de la ecuación de calor será entonces:

$$U_n(x, t) = A_n \exp(-(an\pi/l)^2 t) \operatorname{sen} n\pi x/l$$

para $n = 1, 2, \dots$,

debido a que la ecuación de calor es lineal, una combinación lineal de las soluciones anteriores, será también una solución.

$$U(x, t) = \sum_1^{\infty} U_n(x, t) = \sum_1^{\infty} A_n \exp(-(an\pi/l)^2 t) \operatorname{sen} n\pi x/l$$

las constantes A_n son determinadas utilizando la condición inicial.

$$U(x, 0) = h(x) = \sum_1^{\infty} A_n \operatorname{sen} n\pi x/l$$

TRANSFORMADA DE LAPLACE

Uno de los métodos de gran utilidad para la resolución de ecuaciones diferenciales lineales, es el de las transformadas integrales donde una función $f(t)$ se transforma en otra función $F(s)$ por medio de la integral siguiente:

$$F(s) = \int_a^b K(s,t) f(t) dt$$

la función $F(s)$ se llama la transformada de $f(t)$ y $K(s,t)$ el núcleo de la transformación; cuando se hace una selección apropiada de $K(s,t)$ y de los límites de integración, en ocasiones es posible reducir el problema de $f(t)$ en otro problema más sencillo para $F(s)$.

Existen diversas transformaciones integrales, donde cada una de ellas es apropiada para resolver cierto tipo de ecuaciones diferenciales. A continuación se presentan las propiedades más importantes de la Transformada de Laplace y la aplicación de ésta para resolver ecuaciones diferenciales parciales lineales.

Definición: Se dice que f es una función de orden exponencial en el intervalo $[C, \infty)$ si existen constantes C y q ; $C > 0$ tales que $f(t) = C \exp(qt)$ para todo $t > 0$

Sean f y h funciones continuas o seccionalmente continuas de orden exponencial entonces:

- a) Existe un número real "a" tal que la transformada de Laplace converge para todos los valores de $s > a$ y define una función $F(s)$ cuyo dominio es el intervalo (a, ∞)

$$F(s) = L(f(t)) = \int_0^{\infty} \exp(-st)f(t)dt \quad ; \quad s > a$$

- b) La solución de la ecuación $L(f(t)) = F(s)$ es única y se llama la transformada inversa de Laplace.

$$f(t) = L^{-1}(F(s))$$

- c) Linealidad del operador transformada L

$$L(af(t) + bh(t)) = aL(f(t)) + bL(h(t))$$

- d) $L(\exp(at)f(t)) = F(s-a)$

- e) $L((-t)^k f(t)) = d^k F/ds^k$

Si $U(x, t)$; $a \leq x \leq b$ y $t > 0$ es una función de orden exponencial y bien comportada de tal forma que pueda ser intercambiado el proceso de diferenciación por el de integración, se puede demostrar:

$$L(U_x) = dQ(x,s)/dx$$

$$L(U_{xx}) = d^2Q(x,s)/dx^2$$

$$L(U_t) = -U(x,0) + sQ(x,s)$$

donde
$$Q(x,s) = \int_0^{\infty} \exp(-st)U(x,t)dt$$

Considere la ecuación de calor siguiente:

$$\begin{aligned} u_t &= a^2 u_{xx} & 0 < x < \infty; & \infty > t > 0 \\ u(x,0) &= 0 & x > 0 \\ u(0,t) &= 1 & t > 0 \end{aligned}$$

aplicando la transformada de Laplace se obtiene la ecuación diferencial ordinaria:

$$-u(x,0) + sU(x,s) = a^2 d^2U(x,s)/dx^2$$

donde
$$U(x,s) = \int_0^{\infty} \exp(-st)u(x,t)dt$$

la solución de la ecuación anterior es:

$$U(x,s) = A \exp(-x\sqrt{s}/a) + B \exp(x\sqrt{s}/a)$$

para encontrar los valores de las constantes A, B se usan las condiciones:

a) $U(0,s) = L(u(0,t)) = L(1) = 1/s$

b) Como $u(x,t)$ es de orden exponencial, se puede demostrar que $\lim_{s \rightarrow \infty} U(x,s) = 0$;

$$s \rightarrow \infty$$

de esta forma, la solución se reduce a:

$$U(x,s) = \exp(-x \sqrt{s}/a)/s$$

consultando la tabla de transformadas del apéndice, se obtiene como solución de la ecuación de calor:

$$u(x,t) = \operatorname{erfc}(x/2a\sqrt{t})$$

MÉTODOS NUMÉRICOS

Las ecuaciones diferenciales parciales que surgen con mayor frecuencia en problemas de Ingeniería Química son no lineales, sistemas o bien se dispone de información en forma tabulada; debido a ésto es necesario resolverlas utilizando técnicas numéricas.

En general las técnicas numéricas transforman las EDP en sistemas de ecuaciones algebraicas cuya solución, es aceptada como una buena aproximación de la solución "real" y se presenta como un conjunto de datos tabulados.

La exactitud de la solución obtenida es difícil de evaluar, sin embargo si la técnica numérica satisface los siguientes criterios de convergencia y estabilidad, la exactitud es determinada por la precisión de la computadora.

ESTABILIDAD.- Se dice que una técnica numérica es estable, cuando no se manifiesta un crecimiento del error involucrado al redondear los datos iniciales.

El error de redondeo se origina porque la aritmética realizada por la computadora, involucra números reales con solo un número finito de dígitos con el resultado de que los cálculos se hacen con representaciones aproximadas de los números verdaderos.

Crecimiento del error de redondeo. Cualquier número real puede ser representado por:

$$y = 0.d_1d_2 \dots d_k d_{k+1} \dots \times 10^n$$

donde los dígitos son:

$$1 \leq d_1 \leq 9 ; \quad 0 \leq d_k \leq 9 ; \quad n = 1, 2, \dots,$$

el redondeo del número anterior consiste en truncar dicho número en k dígitos y se representa:

$$fl(y) = 0.d_1d_2 \dots d_k \times 10^n$$

La aritmética simplificada de una computadora consiste en redondear los números reales, hacer la operación aritmética y redondear nuevamente el resultado; de aquí que el crecimiento del error depende de la cantidad y tipo de operaciones algebraicas realizadas.

$$(x+y)/z = fl(fl(fl(x) + fl(y))/fl(z))$$

Considerese un error inicial "e" el cual crece hasta E_n después de n operaciones algebraicas subsiguientes.

Si $\|E_n\| = Cn$ donde C no depende de n , se dice que el crecimiento del error es lineal.

Si $\|E_n\| = k^n e$; $k > 1$, el crecimiento del error es exponencial.

Debido a que el crecimiento de error lineal es inevitable, cualquier técnica numérica en la que ocurra éste tipo de error, se considera como estable mientras que cuando ocurre un crecimiento de error exponencial, la técnica numérica será inestable.

CONVERGENCIA. Se dice que un método de diferencia finita es convergente con respecto a la ecuación diferencial que aproxima si:

$$\lim_{h \rightarrow 0} \max \| U_i - W_i \| = 0 \text{ para } i = 1, \dots, N$$

donde U_i es la solución de la ecuación diferencial y W_i es la mejor aproximación de U_i .

Velocidad de convergencia. Como fué mencionado con anterioridad, el crecimiento del error aumenta de acuerdo al número de operaciones aritméticas realizadas por lo tanto, es deseable una convergencia rápida de la técnica numérica.

Si $\lim_{x \rightarrow 0} F(x) = L$ se dice que la velocidad de convergencia

es de orden $O(g(x))$ si existe un número $k > 0$ independiente de x , tal que:

$\|F(x) - L\| / \|g(x)\| = k$ para $x > 0$ lo suficientemente pequeña; lo anterior se puede expresar como:

$$F(x) = L + O(g(x))$$

donde $O(g(x)) \rightarrow 0$
 $x \rightarrow 0$

DIFERENCIAS FINITAS

El Método de Diferencias Finitas (MDF) es aplicable a la mayoría de EDP no obstante, en el presente trabajo solo se consideraran aquellas ecuaciones cuyo dominio sea una región en R^2 .

Fundamento. El MDF transforma la EDP y condiciones frontera e iniciales, en un sistema de ecuaciones algebraicas al reemplazar cada una de las derivadas parciales en la ecuación diferencial, por cocientes de diferencia finita.

Aproximación de las derivadas parciales. Sea $U(x,y)$ una función con derivadas parciales continuas en (x,y) y de orden "n" ; si h es un incremento de la variable "x" entonces, la serie de TAYLOR de U se define como:

$$U(x+h,y) = U(x,y) + hU_x + h^2U_{xx}/2 + \dots + h^n U_x^n/n!$$

donde $U_x^n = U_x^n(\bar{x},y)$; $x < \bar{x} < x+h$, el término $E(h^n) = h^n U_x^n/n!$ se llama error de truncamiento y tiene la siguiente propiedad:

$$\lim_{h \rightarrow 0} E(h^n) = 0$$

Considerese las series truncadas

$$U(x+h,y) = U(x,y) + hU_x + h^2U_{xx}/2 + h^3U_{xx}^3/6 + h^4U_x^4/24$$

$$U(x-h,y) = U(x,y) - hU_x + h^2U_{xx}/2 - h^3U_{xx}^3/6 + h^4U_x^4/24$$

al sumar las series anteriores, se obtiene una forma explícita para representar la derivada parcial de segundo orden.

$$U_{xx} = (U(x+h,y) - 2U(x,y) + U(x-h,y))/h^2 - h^2U_x^4/12$$

en forma semejante se obtienen las derivadas parciales de primer orden.

$$U_x = (U(x+h,y) - U(x,y))/h - hU_{xx}^2/2$$

$$U_x = (U(x,y) - U(x-h,y))/h + hU_{xx}^2/2$$

$$U_x = (U(x+h,y) - U(x-h,y))/2h - h^2U_x^3/3$$

la última aproximación para U_x converge más rápidamente debido al término h^2 , ésta propiedad es utilizada para generar métodos eficientes de resolución de EDP. A continuación se describen los métodos Diferencia Progresiva, Regresiva y Crank-Nicolson aplicados a la ecuación de difusión.

Considerese la ecuación de difusión

$$U_t - U_{xx} = 0 \quad 0 < x < L ; 0 < t < T$$

$$U(0, t) = 0 \quad 0 < t < T$$

$$U(L, t) = 0$$

$$U(x, 0) = f(x) \quad 0 \leq x \leq L$$

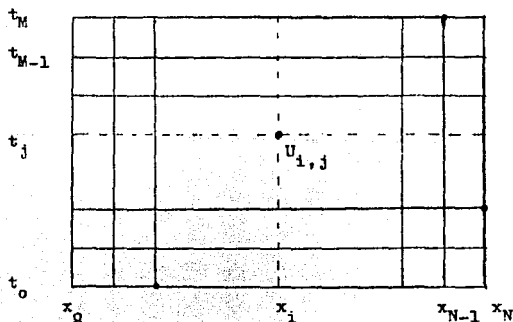
1.- Hacer una partición homogénea del dominio

$$x_0, x_1, \dots, x_n ; x_{i+1} = x_i + h$$

$$t_0, t_1, \dots, t_n ; t_{j+1} = t_j + k$$

donde $h = L/N$ y $k = T/M$

2.- En cada nodo $(x_i, t_j) = (i, j)$ representar las condiciones frontera e iniciales y la solución $U(x_i, t_j) = U_{i,j}$



- a) El método de diferencia progresiva utiliza las aproximaciones

$$U_t = (U_{i,j+1} - U_{i,j})/k - O(k)$$

$$U_{xx} = (U_{i-1,j} - 2U_{i,j} + U_{i+1,j})/h^2 - O(h^2)$$

al sustituir éstas en la ecuación diferencial se obtiene

$$(U_{i,j+1} - U_{i,j})/k - (U_{i-1,j} - 2U_{i,j} + U_{i+1,j})/h^2 + O(h^2 + k) = 0$$

si h y k son lo suficientemente pequeños entonces $O(h^2 + k) = 0$

$$U_{i,j+1} = aU_{i-1,j} + (1 - 2a)U_{i,j} + aU_{i+1,j} \quad ; \quad a = k/h^2$$

la ecuación de recurrencia anterior está definida en cada nodo (i,j) tal que $i = 1, \dots, N-1$; $j = 0, \dots, M-1$. Para algún valor de " j ", la ecuación anterior genera el sistema lineal

$$U_{j+1} = A U_j$$

donde A es la matriz tridiagonal $(a, 1-2a, a)$ y U_j es el vector solución $(U_{0,j}, U_{1,j}, \dots, U_{N,j})$.

Se puede demostrar (REF.1) que la matriz A es inestable para valores de $a > 1/2$ lo cual restringe el tamaño de la partición a $k/h^2 \leq 1/2$

b) El método de diferencia regresiva utiliza las aproximaciones:

$$U_t = (U_{i,j} - U_{i,j-1})/k + O(k)$$

$$U_{xx} = (U_{i+1,j} - 2U_{i,j} + U_{i-1,j})/h^2 - O(h^2)$$

siguiendo el procedimiento anterior se obtiene, el sistema lineal

$$A U_j = U_{j-1} \quad \text{para } j = 1, \dots, M-1 \\ i = 1, \dots, N-1$$

donde A es la matriz tridiagonal $(-a, 1+2a, -a)$ y es estable para cualquier valor de "a" (REF. 1). El método es incondicionalmente estable y tiene un orden de convergencia $O(h^2 + k)$.

c). El método de Crank-Nicolson es incondicionalmente estable y tiene un orden de convergencia $O(h^2 + k^2)$. Utiliza un promedio de las aproximaciones de diferencia progresiva en el j-ésimo paso en "t" y de diferencia regresiva en el (j-1) paso en "t".

$$U_t = ((U_{i,j+1} - U_{i,j}) + (U_{i,j+1} - U_{i,j}))/2k$$

$$U_{xx} = ((U_{i-1,j} - 2U_{i,j} + U_{i+1,j}) + (U_{i+1,j+1} - 2U_{i,j+1} + U_{i-1,j+1}))/2h^2$$

el sistema lineal asociado es:

$$AU_{j+1} = BU_j \quad \text{para } j = 1, \dots, M-1$$
$$i = 1, \dots, N-1$$

para un valor finito de h, k el método de Crank-Nicolson aproxima mejor a la EDP debido a que $O(h^2 + k^2) < O(h^2 + k)$.

METODO DEL ELEMENTO FINITO

Algunos problemas que involucran EDP pueden ser representados por problemas variacionales equivalentes, los cuales proporcionan una alternativa útil para obtener una solución aproximada de la EDP.

A continuación se presenta un problema variacional que conduce a la ecuación de Laplace y se describirán los métodos de Rayleigh-Ritz y del Elemento Finito.

Considerese una curva cerrada $\Gamma(x,y)$ que delimita una región $A(x,y)$; sean $p(x,y)$ y $g(x,y)$ funciones definidas en A y Γ respectivamente. Se desea encontrar una función $U(x,y)$ que sea \mathcal{E}^2 en A y que satisfice $U = g$ en Γ tal que minimice la integral siguiente:

$$I = \int_A ((U_x^2 + U_y^2)/2 - pU) dA$$

Sea $U = W(x,y) + e Q(x,y)$ una familia de funciones \mathcal{E}^2 donde "e" es un parámetro de ajuste; si W minimiza la integral I entonces:

$$\begin{aligned} dI/de &= 0 && \text{cuando } e=0 \\ W &= g && \text{en } \Gamma (Q=0 \text{ en } \Gamma) \end{aligned}$$

al sustituir la función U en la integral I y evaluando la derivada en $e=0$ se tiene lo siguiente:

$$\int_A (W_x Q_x + W_y Q_y - pQ) dA = 0$$

utilizando el teorema de la divergencia, la integral anterior se transforma en:

$$\int_{\Gamma} W_n Q ds - \int_A (W_{xx} + W_{yy} + p) dA = 0$$

donde W_n es la derivada normal, debido a que $Q=0$ en Γ se reduce a:

$$\int_A (W_{xx} + W_{yy} + p) Q dA = 0$$

como Q fué seleccionada en forma arbitraria, ésta integral es nula solamente si:

$$\begin{aligned} W_{xx} + W_{yy} + p &= 0 && \text{para } (x,y) \text{ en } A \\ w &= g && \text{en } \Gamma \end{aligned}$$

" Si Γ , p , g son funciones continuas, la solución w de la EDP anterior es única y minimiza la integral I ".

Usando el procedimiento anterior, las siguientes EDP tienen asociadas las integrales I,J

$$W_{xx} + W_{yy} + p = 0 \quad (x,y) \text{ en } A$$

$$W_n = f(s) \quad \text{en } \Gamma$$

$$J = \int_A ((U_x^2 + U_y^2)/2 - pU) \, dA - \int_{\Gamma} f(s) \, ds$$

$$(pW_x)_x + (qW_y)_y + rW = f \quad (x,y) \text{ en } A$$

$$W = g \quad \text{en } l_i$$

$$pW_x \cos \theta_1 + qW_y \cos \theta_2 + g_1 W = g^2 \quad \text{en } l_{1i}$$

donde $l = l_1 U \, l_{1i}$ es frontera

$$I = \int_A ((pU_x^2 + qU_y^2 - rU^2)/2 + fU) \, dA + \int_{\Gamma} (-g_2 U + g_1 U^2/2) \, ds$$

METODO DE RAYLEIGH-RITZ

Para describir el método se utilizará la ecuación de Laplace y su integral asociada I.

$$\begin{aligned} U_{xx} + U_{yy} &= 0 && \text{para } (x,y) \text{ en } A \\ U &= f(x,y) && \text{para } (x,y) \text{ en } I \text{ (frontera de } A) \end{aligned}$$

$$I = \int_A (U_x^2 + U_y^2)/2 \, dA$$

Se propone como solución de la ecuación diferencial una combinación lineal de funciones prescritas $h_j(x,y)$ con las siguientes características:

$$h(x,y) = h_0(x,y) + \sum_1^n c_j h_j(x,y)$$

$$\begin{aligned} h_0(x,y) &= f(x,y) && \text{para } (x,y) \text{ en } I \\ h_j(x,y) &= 0 && \text{para } (x,y) \text{ en } I \quad j \neq 0 \end{aligned}$$

Como $h(x,y)$ es una solución de la ecuación diferencial entonces deberá minimizar la integral I; para que se cumpla ésta condición, los parámetros c_j se calculan usando el siguiente criterio:

$$\int_A \frac{\partial I}{\partial c_j} = 0$$

$$\int_A ((h_{0x} + c_1 h_{1x} + \dots + c_n h_{nx}) h_{jx} + (h_{0y} + c_1 h_{1y} + \dots + c_n h_{ny}) h_{jy}) \, dA = 0 \quad j = 1, 2, \dots, n$$

Al evaluar las integrales anteriores, se forma un sistema de "n" ecuaciones algebraicas cuyas incógnitas son los parámetros c_j .

La exactitud de la solución obtenida depende del criterio de selección de las funciones $r_j(x,y)$ y del número de éstas; cuando las funciones mencionadas son polinomios lineales, se genera una técnica numérica denominada Método del Elemento Finito (MEF) y es aplicable a EDP que posean un principio variacional.

DESCRIPCION DEL MEF.

Se hace una partición del dominio de la EDP en elementos triangulares o rectangulares, asegurando que la partición forme adecuadamente la frontera del dominio; en la intersección de los triángulos (nodos) se define un polinomio segmentario con las siguientes propiedades:

$$h_i(x,y) = a_i + b_i x + c_i y$$

$$h_i(E_k) = \begin{cases} 1 & i=k \\ 0 & i \neq k \end{cases}$$

$$h_i(E_k)h_j(E_p) = \begin{cases} 1 & i=k \text{ y } j=p \\ 0 & i \neq k \text{ o } j \neq p \end{cases}$$

$E_k = (x_k, y_k)$ nodo "k" de la partición.



De las propiedades anteriores se deduce que el dominio de los polinomios segmentarios $h_j(x,y)$, es el conjunto de triángulos que tengan un vértice común E_j y el dominio del producto $h_i(x,y) h_j(x,y)$ es el conjunto de triángulos que tengan dos vértices comunes E_j, E_i .

Se propone como solución de la EDP una combinación lineal de los polinomios definidos en cada nodo de la partición $h(x,y) = \sum c_j h_j(x,y)$ los parámetros c_j se calculan utilizando el mismo criterio empleado en el método de Rayleigh-Ritz. El carácter discreto de los polinomios, le asigna las siguientes propiedades a la solución obtenida.

$$h(x,y) = c_r h_r(x,y) + c_s h_s(x,y) + c_t h_t(x,y)$$

para puntos (x,y) que pertenezcan al triángulo cuyos vértices sean los nodos E_r, E_s, E_t .

METODO DE LAS CARACTERISTICAS

Para describir el método de las características, se presentará a continuación la solución D'Alembert para la ecuación de onda y se analizará el fenómeno de propagación sobre las curvas características de dicha ecuación.

$$U_{tt} - c^2 U_{xx} = 0 \quad (1)$$

$$U(x,0) = f(x) \quad \text{restricciones} \quad (2)$$

$$U_t(x,0) = 0 \quad (3)$$

1.- Se propone el siguiente cambio de variables.

$$z = x + c t \quad y = x - c t$$

2.- Se considera la función $U(z,y) = U(x,t)$ una solución de la ecuación (1)

3.- Aplicando la regla de la cadena, las derivadas parciales respecto a "x" y "t" de $U(z,y)$ son:

$$U_{xx} = U_{zz} + 2U_{zy} + U_{yy}$$

$$U_{tt} = c^2(U_{zz} - 2U_{zy} + U_{yy})$$

4.- Al ser sustituidas las derivadas parciales en la ec. de onda se reduce a ésta, en la siguiente ecuación denominada "forma canónica" cuya solución se obtiene por integración sucesiva.

$$U_{zy} = 0$$

$$U_y = h(y)$$

$$U = \int h(y) dy + g(z) = H(y) + G(z)$$

$$\underline{U(z,y) = H(y) + G(z)} \quad \text{solución de la ec. (1)}$$

Las funciones $H(y)$, $G(z)$ tienen que ser doblemente derivables y se obtienen usando las restricciones (2) y (3).

$$U_t = y_t H' + z_t G' = c(H' - G')$$

$$U_t(x,0) = c(H'(x) - G'(x)) = 0 \quad \dots (4)$$

$$U(x,0) = H(x) + G(x) = f(x)$$

$$H(x) + G(x) = f(x) \quad \dots (5)$$

sumando (4), (5) y utilizando la condición inicial (2)

$$2H'(x) = f'(x) \quad ; \quad dH(x) = df(x)/2$$

$$H(y) = f(y)/2 + K$$

$$G(z) = f(z) - H(z)/2 - K$$

$$U(z,y) = H(y) + G(z) = (f(y) + f(z))/2$$

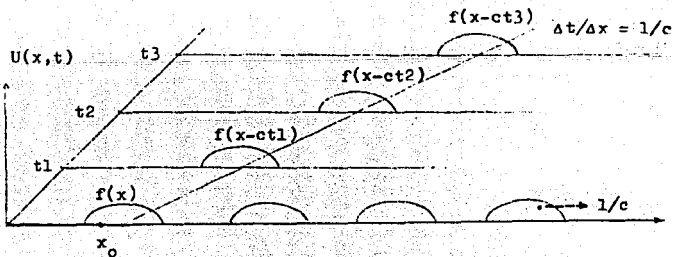
$$\underline{U(x,t) = (f(x - ct) + f(x + ct))/2}$$

Curvas características.

La función $f(x - ct)$ representa una configuración que se propaga sin deformación con velocidad "c"; de lo anterior se deduce que la solución de la ecuación de onda, es la suma de dos perturbaciones que se propagan sin deformación con velocidad c y en direcciones opuestas.

Considerese parte de la solución $U(x,t) = f(x-ct)/c$ que se propaga a la derecha; sea $(x_0,0)$ un punto en el plano (x,t) (ver fig. 1); para algún instante t_i el punto $f(x_0)$ se deslaza hasta $x_0 + ct_i$; si la velocidad de propagación es constante, la perturbación inicial $f(x)$ se propaga sobre la familia de líneas rectas $x-ct=cte$, $x+ct=cte$.

Esta familia de curvas se denominan curvas características de la ecuación de onda.



Se resolverá a continuación una ecuación diferencial parcial más general utilizando el procedimiento anterior.

$$A(x,t) U_{tt} + B(x,t) U_{xt} + C(x,t) U_{xx} = 0$$

sean $z(x,t)$, $y(x,t)$ funciones continuas y dos veces derivables respecto a x, t .

Aplicando la regla de la cadena y sustituyendo las derivadas parciales en la ecuación diferencial, se tiene lo siguiente:

$$(A(z_t)^2 + Bz_x z_t + C(z_x)^2) U_{zz} + (A(y_t)^2 + B y_t y_x + C(y_x)^2) U_{yy} + (2A z_t y_t + B z_t y_x + B z_x y_t + 2C z_x y_x) U_{zy} = 0$$

Se desea encontrar las condiciones para las cuales la ecuación anterior se reduce a la forma canónica de la ec. de onda.

$$U_{zy} = 0$$

Se obtiene la ecuación anterior sólo si las funciones $z(x,t)$, $y(x,t)$ satisfacen las siguientes ecuaciones:

$$A(x,t)(z_t)^2 + B(x,t)z_x z_t + C(x,t)(z_x)^2 = 0$$

$$A(x,t)(y_t)^2 + B(x,t)y_x y_t + C(x,t)(y_x)^2 = 0$$

la solución de las ecuaciones anteriores es:

$$z_t/z_x = (-E \pm \sqrt{B^2 - 4AC})/2A$$

$$y_t/y_x = (-E \pm \sqrt{B^2 - 4AC})/2A$$

Como las curvas $z(x, t)$; $y(x, t)$ deben ser linealmente independientes y reales, sólo se consideran las soluciones:

$$z_t/z_x = dx/dt = (-P + \sqrt{F^2 - 4AC})/2A$$

$$y_t/y_x = dx_1/dt = (-B - \sqrt{F^2 - 4AC})/2A$$

donde $F^2 - 4AC > 0$

como $A = A(x, t)$; $F = F(x, t)$; $C = C(x, t)$ las ecuaciones anteriores son ecuaciones diferenciales ordinarias de la forma:

$$dx_1/dt = f_1(t, x) ; \quad dx_1 = \int f_1(t, x) dt \quad x_1 = F(t) + K$$

$$dx/dt = f(t, x) ; \quad dx = \int f(t, x) dt \quad x = G(t) + CC$$

Para cada valor de K y CC se genera una curva en el plano (x, t) y al conjunto de éstas se denomina Curvas Características de la EDP.

R E S U M E N

- 1.- Las EDP que satisfacen la condición $B^2 - 4AC > 0$; $A \neq 0$ se les denomina ecuaciones hiperbólicas.
- 2.- Las ecuaciones hipértólicas pueden ser reducidas a la forma canónica de la ecuación de onda y por lo tanto se comportan de forma semejante. "Las perturbaciones iniciales se propagan sobre las curvas características. "

CURVAS CARACTERISTICAS DE EDP DE PRIMER ORDEN

Algunas EDP de primer orden, poseen curvas en el espacio solución (x, y, U) que tienen propiedades semejantes a las curvas características de las ecuaciones hiperbólicas; debido a ésto es posible utilizar el método de las características para resolver éste tipo de ecuaciones.

Considerese la siguiente ecuación:

$$\begin{aligned} f(x,y) U_x + g(x,y) U_y &= h(x,y) \quad \text{para } (x,y) \text{ en "D"} \\ \text{si } f(x,y) &\neq 0 \quad \text{para todo } (x,y) \text{ en D} \\ U_x + g(x,y)/f(x,y) U_y &= h(x,y)/f(x,y) \quad \dots (q.1) \end{aligned}$$

Si la solución $U(x,y)$ es continua en D, se desea encontrar la derivada total en dirección "x" sobre alguna curva $\bar{\Gamma}(x,y,U) = \text{cte.}$ en el espacio solución (ver fig. 1)

$$dU/dx = U_x + (dy/dx) U_y$$

Como la ecuación diferencial se cumple para todo el dominio, entonces por analogía:

$$dy/dx = g(x,y)/f(x,y) \quad (q.2)$$

$$dU/dx = h(x,y)/f(x,y) \quad (q.3)$$

La ecuación (q.2) define la proyección de $\Gamma(x,y,U)$ sobre el dominio y la solución $y = F(x)$ de (q.2) se utiliza para resolver (q.3)

Las curvas $\Gamma(x, F(x)) = cte.$ se denominan características de la ecuación diferencial (q.1).

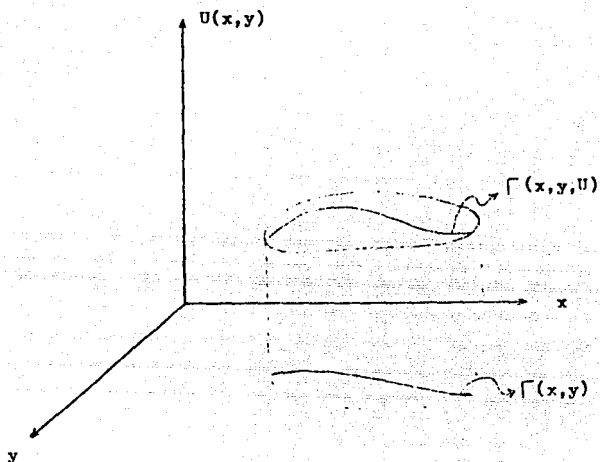
R E S U M E N

- 1.- La EDP de primer orden (q.1) tiene una familia de curvas características definidas por:

$$dy/dx = g(x,y)/f(x,y) \quad ; \quad y = F(x) + KK$$

- 2.- Al resolver la ecuación (q.1) sobre la curva característica, se reduce ésta a una ecuación diferencial ordinaria.

$$dU/dx = h(x,y(x))/f(x,y(x))$$



Proyección de la curva característica (x,y,U) sobre el plano (x,y) del dominio D (fig. 1)

CAPITULO V

A L G O R I T M O # 1

Método de diferencias finitas Crank-Nicolson aplicado a la ecuación de difusión.

El sistema lineal asociado es:

$$AU_{j+1} = BU_j$$

- 1.- Entrada $k, h, f(x), L, T$
- 2.- $N = L/h$; $M = T/k$; $a = k/h^2$
- 3.- $U_{i,0} = f(x_i)$; $i = 0, \dots, N$
- 4.- $j = 0$
- 5.- Resolver el sistema lineal para U_{j+1}
- 6.- $U_{0,j+1} = 0$; $U_{N,j+1} = 0$
- 7.- Imprimir $U_{i,j+1}$; $i = 0, \dots, N$
- 8.- $U_{i,j} = U_{i,j+1}$; $i = 0, \dots, N$
- 9.- $j = j + 1$
- 10.- si $j \leq M$ vete a (5)
- 11.- F I N.

Usar el método GROUT o SOR para resolver el sistema lineal.

A L G O R I T M O # 2

Método de diferencias finitas Crank-Nicolson aplicado al reactor de oxidación de SO_2 . El sistema lineal asociado al reactor es:

$$A1 \ t_{j+1} = B1 \ t_j + RP(x, t)_1 \quad \dots \quad (I)$$

$$A2 \ x_{j+1} = B2 \ x_j + RP(x, t)_2 \quad \dots \quad (II)$$

- 1.- Entrada h, k, L, R, E1, E2, propiedades termodinámicas y cinéticas del sistema
- 2.- $N = L/h$; $M = R/k$
- 3.- $t_{0,1} = f(r_1)$; $x_{0,1} = 0$; $i = 0, \dots, N$
- 4.- $j = 0$
- 5.- Suponer $t = t_j$; $x = x_j$
- 6.- Calcular $RP(x, t)_1$
- 7.- Resolver (I) y obtener t_{j+1}
- 8.- Calcular $RP(x, t)_2$
- 9.- Resolver (II) y obtener x_{j+1}
- 10.- Si $\|x - x_{j+1}\| < E1$ y $\|t - t_{j+1}\| < E2$ vete a (12)
- 11.- $x = x_{j+1}$; $t = t_{j+1}$ vete a (6)
- 12.- Imprimir r_i, z_j, x_i, t_i ; $i = 0, \dots, N$
- 13.- $x_j = x_{j+1}$; $t_j = t_{j+1}$
- 14.- $j = j+1$
- 15.- si $j \leq M$ vete a (5)
- 16.- F I N.

A L G O R I T M O # 3

Método de diferencias finitas Crank-Nicolson aplicado al reac
de oxidación de o-xileno. El sistema lineal asociado al reac
tor es:

$$D1 \quad T_{j+1} = E1 \quad T_j + RB(X,W,T) + RC(X,W,T) \quad . . \quad (1)$$

$$D2 \quad X_{j+1} = E2 \quad X_j + RBL(X,W,T) \quad . . \quad (2)$$

$$D3 \quad W_{j+1} = E3 \quad W_j + RCL(X,W,T) \quad . . \quad (3)$$

- 1.- Entrada h, k, L, R, E1, E2, propiedades cinéticas y ter
modinámicas del sistema, X₀, W₀, T₀
- 2.- j = 0
- 3.- suponer X = X₀ ; W = W₀ ; T = T₀
- 4.- calcular RB(X,W,T) ; RC(X,W,T)
- 5.- resolver (1) y obtener T_{j+1}
- 6.- con X, W, T_{j+1} calcular RBL(X,W,T_{j+1})
- 7.- resolver (2) y obtener X_{j+1}
- 8.- con X_{j+1}, W, T_{j+1} calcular RCL(X_{j+1}, W, T_{j+1})
- 9.- resolver (3) y obtener W_{j+1}
- 10.- si $\|X_{j+1} - X\| < E1$ y $\|W_{j+1} - W\| < E1$ y $\|T_{j+1} - T\| < E2$
vete a (12)
- 11.- X = X_{j+1} ; W = W_{j+1} ; T = T_{j+1} vete a (4)
- 12.- imprime z_j, r_i, X_{i,j+1}, W_{i,j+1}, T_{i,j+1} i = 0, ..., N
- 13.- X_j = X_{j+1} ; W_j = W_{j+1} ; T_j = T_{j+1}
- 14.- j = j+1
- 15.- si j ≤ M vete a (3)
- 16.- F I N

A L G O R I T M O # 4

Aplicación del método de las características para la resolución de ecuaciones hipérbólicas cuasilineales.

$$a_1 U_{tt} + a_2 U_{xt} + a_3 U_{xx} = a_4 \quad 0 < x < L ; t > 0$$

donde $a_i = a_i(x, t, U, U_t, U_x)$

condiciones frontera e iniciales

$$U(x, 0) = f(x) \quad 0 \leq x \leq L$$

$$U_t(x, 0) = g(x) \quad 0 \leq x \leq L$$

$$U(0, t) = U(L, t) = 0 \quad t > 0$$

se asume además que $f(x)$ es continua y

$$U_x(x, 0) = f'(x) \quad 0 \leq x \leq L$$

las curvas características de la ecuación hipérbólica son

$$a_3(dt/dx)^2 - a_2(dt/dx) + a_1 = 0$$

si U_t y U_x son funciones continuas entonces las diferenciales $d(U_t)$; $d(U_x)$ existen y forman con la ecuación diferencial el sistema

$$a_1(U_{tt}) + a_2(U_{xt}) + a_3(U_{xx}) = a_4$$

$$0 + dt(U_{xt}) + dx(U_{xx}) = dU_x$$

$$dt(U_{tt}) + dx(U_{xt}) + 0 = dU_t$$

el determinante del sistema $Ds=0$ genera las curvas características por lo tanto el sistema tiene solución solo si (regla de Cramer)

$$DU_{tt} = DU_{xt} = DU_{xx} = 0$$

en particular el método utiliza

$$DU_{xt} = 0 \quad ; \quad a_1 d(U_t) + a_3 d(U_x) dt/dx - a_4 dt = 0$$

el presente algoritmo se genera aplicando las ecuaciones

$$dU = U_x dx + U_t dt \quad (1)$$

$$m_1 = (a_2 + \text{SQR}(a_2^2 - 4 a_1 a_3))/2 a_3 \quad . . (2)$$

$$m_2 = (a_2 - \text{SQR}(a_2^2 - 4 a_1 a_3))/2 a_3 \quad . . (3)$$

$$a_1 d(U_t) + a_3 d(U_x) dt/dx - a_4 dt = 0 \quad . (4)$$

considerense los puntos P,Q en el eje coordinado "x" por los cuales pasan dos curvas características que se intersectan en H(fig. 1); como las condiciones frontera e iniciales se proponen sobre las características, se utilizan éstas para calcular la solución en la intersección $U(R)$, $U_t(R)$, $U_x(R)$.

Aproximaciones sucesivas. Sea R_0 la intersección de las rectas cuyas pendientes son $m_1(P)$ y $m_2(Q)$; utilizando las condiciones frontera e iniciales y aplicando las ecuaciones (1) a (4) se calculan las funciones $U(R_0)$, $U_t(R_0)$, $U_x(R_0)$. Para obtener una mejor aproximación de R, se calculan las funciones $U(R_1)$, $U_t(R_1)$, $U_x(R_1)$ donde R_1 es la intersección de las rec

tas que pasan por los puntos P, Q y cuyas pendientes son $n1 = (m1(P) + m1(Ro))/2$, $n2 = (m2(Q) + m2(Ro))/2$ respectivamente. El proceso se continúa hasta que $ABS(R-R_K) < E$; en forma semejante se calculan los demás puntos de la malla (fig. 2).

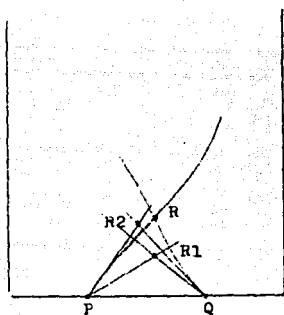


fig. 1

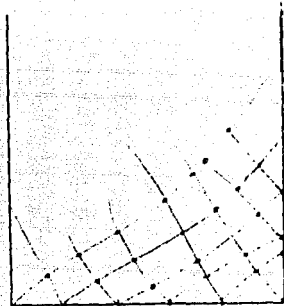


fig. 2

A L G O R I T M O # 5

El siguiente algoritmo se utiliza para resolver ecuaciones de la forma siguiente utilizando el Método del Elemento Finito.

$$(p(x,y)U_x)_x + (q(x,y)U_y)_y + r(x,y)U = f(x,y) \text{ en } D$$

condiciones en la frontera del dominio D

$$p(x,y)U_x \cos \theta_1 + q(x,y)U_y \cos \theta_2 + \varepsilon_1(x,y)U = \varepsilon_2(x,y) \text{ en } l_{ii}$$

$$U = g(x,y) \text{ en } l_j$$

donde $l = l_j$ union l_{ii} es la frontera del dominio D

la integral asociada I es:

$$I = \int_D ((p(U_x)^2 + q(U_y)^2 - rU^2)/2 + fU) dx dy + \int_{l_{ii}} (-\varepsilon_2 U + \varepsilon_1 U^2/2) ds$$

Aplicando las ecuaciones de minimización a la integral I, y seleccionando algunos de los parámetros c_j para asegurar las condiciones en la frontera, se tiene la siguiente ecuación matricial:

$$h(x,y) = \sum_1^n c_j h_j(x,y)$$

$$c_j h_j(x,y) = g(x,y) \text{ en } l_1 \text{ para } j = n+1, \dots, E$$

$$\partial I(h) / \partial c_i = 0 \quad \text{para } i = 1, 2, \dots, n$$

$$A C = B \quad C = (c_i) \quad i=1, \dots, n \text{ parámetros de ajuste}$$

$$A = (a_{ij}) \quad i=1, \dots, n \text{ matriz principal}$$

$$j=1, \dots, n$$

$$B = (b_i) \quad i=1, \dots, n \text{ vector frontera}$$

$$a_{ij} = \int_D (p h_{ix} h_{jx} + q h_{iy} h_{jy} - r h_i h_j) dx dy + \int_L g_1 h_i h_j ds$$

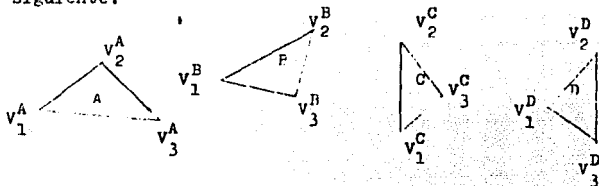
$$b_i = - \int_D f h_i dx dy + \int_L E_2 h_i ds - \sum_{n+1}^E c_k a_{ik}$$

Notación

- M triángulos totales
- M1 triángulos frontera
- E nodos totales
- W nodos frontera
- N número de multiplicadores de ajuste c_j
- T_i triángulo "i"
- $V_i^k = (x_i^k, y_i^k)$ vértice "i" del triángulo "k"
- $E_1 = (E_{x1}, E_{y1})$ nodo "1"
- $Q_1 = (Q_{x1}, Q_{y1})$ nodo frontera "1"

A L G O R I T M O

- 1.- Dividir el dominio "D" de la EDP en triángulos tipo TA, TB, TC, TD.
- 2.- Numerar los triángulos T_i de izq-der de $i=1, M1$ para los triángulos frontera y de $i=M1+1, M$ para los restantes.
- 3.- Numerar los nodos frontera Q_j de izq-der de $j=1, W$
- 4.- Numerar los nodos incógnita E_1 de $l=1, N$ empezando por los internos y después con los pertenecientes a l_{11} y de $l=N+1, E$ para los pertenecientes a l_j .
- 5.- Numerar los vértices de los triángulos tipo de la manera siguiente.



- 6.0 Cálculo de a_{ij} de $i=1, N$; $j=1, E$
- 6.1 si $i=j$ vete a 6.3
- 6.2 vete a 6.5
- 6.3 para cada triángulo T_k con vértice E_1

$$a_{ij} = a_{ij} + I_1 + I_2 - I_3$$
- 6.4 si T_k es frontera

$$a_{ij} = a_{ij} + I_4$$

6.5 para cada triángulo T_k con vértices E_i, E_j

$$a_{ij} = a_{ij} + I_1 + I_2 - I_3$$

6.6 si T_k es frontera

$$a_{ij} = a_{ij} + I_4$$

7.0 Cálculo de b_i de $i=1, N$

7.1 para cada triángulo T_k con vértice E_i

$$b_i = b_i - I_7$$

7.2 si T_k es frontera

$$b_i = b_i + I_8$$

7.3 $ac = ac + a_{ip} c_p$ de $p=N+1, E$

7.4 $b_i = b_i + ac$

8.0 Resolución del sistema lineal "Gauss-Jordan"

8.1 imprime c_i de $i=1, N$

8.2 imprime la solución de la EDP para cada triángulo T_k
cuyos vértices sean los nodos E_r, E_s, E_t .

$$U(x, y) = c_r h_r(x, y) + c_s h_s(x, y) + c_t h_t(x, y)$$

Cálculo de las integrales dobles y de línea.

$$I_1 = \int_D p h_{ix} h_{jx} dx dy = \int_{Dh_i h_j} p h_{ix} h_{jx} dx dy$$

$$I_2 = \int_{Dh_i h_j} q h_{iy} h_{jy} dx dy$$

$$I_3 = \int_{Dh_i h_j} r h_i h_j dx dy$$

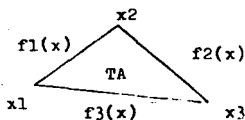
$$I_7 = \int_{Dh_i} f h_i dx dy$$

$$I_4 = \int_{l_{ii}} \varepsilon_1 h_i h_j ds = \int_{l_{ii} Dh_i h_j} \varepsilon_1 h_i h_j ds$$

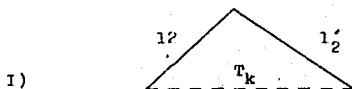
$$I_8 = \int_{l_{ii} Dh_i} \varepsilon_2 h_i ds$$

Haciendo uso de las propiedades de la integral, las integrales anteriores se calculan sumando los valores de éstas en cada triángulo del dominio Dh_i o $Dh_i h_j$. Debido a que el algoritmo usa triángulos tipo, el cálculo se hace de la manera siguiente:

$$\int_{TA} () dy dx = \int_{x_1}^{x_2} \int_{f_3}^{f_1} () dy dx + \int_{x_2}^{x_3} \int_{f_3}^{f_2} () dy dx$$

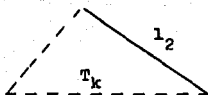


Las integrales de línea I_4 , I_8 se calculan sobre la frontera del dominio Dh_i o $Dh_i h_j$ por lo tanto, solo se consideran los triángulos frontera que formen parte del dominio mencionado. Los triángulos frontera pueden tener uno o dos lados formando parte de la frontera del dominio de la EDP por lo tanto, se deberán considerar las dos alternativas siguientes:



$$\int_{l_{T_k}} () h_i h_j ds = \int_{l_2} () h_i h_j ds + \int_{l'_2} () h_i h_j ds$$

II)



$$\int_{T_k} () h_1 h_j ds = \int_{l_2} () h_1 h_j ds$$

Cálculo de los polinomios segmentarios. Considerese algún triángulo T_k en el que uno de sus vértices es igual al nodo E_1 ; las constantes características del polinomio se determinan resolviendo el siguiente sistema de ecuaciones:

$$h_1(v_1^k) = 0$$

$$h_1(v_2^k) = 1$$

$$h_1(v_3^k) = 0$$

donde $E_1 = v_2^k$

$$a_1 + c_1 x_1^k + d_1 y_1^k = 0$$

$$a_1 + c_1' x_2^k + d_1 y_2^k = 1$$

$$a_1 + c_3 x_3^k + d_1 y_3^k = 0$$

donde $h_1(x,y) = a_1 + c_1 x + d_1 y$

PROGRAMAS

- 1.1 OXIDACION DE DIOXIDO DE AZUFRE
- 1.2 OXIDACION DE O-XILENO
- 1.3 METODO DEL ELEMENTO FINITO
- 1.4 CURVAS CARACTERISTICAS

ALIST

```

10 HOME : PRINT "REACCION DE OXIDACION DE DIOXIDO DE AZUFRE EN REACTOR TUBULAR CATALITICO"
20 YTAB 22: PRINT "PARA CONTINUAR OPRIMIR CUALQUIER TECLA": GET A$
30 HOME :
40 INPUT "QUE METODO DE SOLUCION DESEAS          G.JORDAN(1)  CRUT (2)  ":IX
50 REM REACTOR CATALITICO
60 READ G,KE,CP,DB,DH,PE,PM,DP,YO,DR,LL,TS,N,A,E1,E2: GOTO 160
70 INPUT "FLUJO MASICO G(lb/hrft^2)":I$ : PRINT : INPUT "CONDUCTIVIDAD TERMICA Ae(BTU/hrft^2)":AKE: PRINT
80 INPUT "COEF.TRANSF.CALOR U(Btu/hrft^2 F)":U: PRINT
90 INPUT "CAPACIDAD CALORIFERICA Cp(lbtu/lb F)":CP: PRINT : INPUT "DENSIDAD DE LECHO DB(lb/ft^3)":DB: PRINT
100 INPUT "CALOR DE REACCION DH(cal/gmol)":DH: PRINT : INPUT "PECTET RACIAL Per":PE: PRINT
110 INPUT "PESO MOL.MEZCLA GASEOSA PM":PM: PRINT : INPUT "DIAM.PART.CATALITICA Dp(in)":DP: PRINT : INPUT "FRACCION MOL DIOXIDO AZUFRE Y0":Y0: PRINT
120 INPUT "DIAMETRO DEL REACTOR DR(in)":DR: PRINT : INPUT "LONGITUD DEL REACTOR L(ft)":LL: PRINT : INPUT "TEMPERATURA DE ENFRIAMIENTO TS":TS: PRINT
130 INPUT "NUM.DE PARTICION RADIAL N":N: PRINT : INPUT "NUM. DE PARTICION AXIAL M":M: PRINT
140 INPUT "ERROR PERMISIBLE E1":E1: PRINT : INPUT "ERROR PERMISIBLE E2":E2: PRINT
150 INPUT "FACTOR DE CONVERGENCIA SOR ":S: PRINT : INPUT "NUMERO DE ITERACIONES SOR ":MNX: PRINT
160 C1 = - G * CF / KE; C2 = - DB * DH / KE; P1 = - PE * 12 / DP; C2 = DE * PE * PM * 12 / (DP * 3 * Y0)
170 H = DR / (12 * 2 * A); K1 = LL / H; C = U * H / KE
180 A3 = 1 / (H * 2); A4 = - A3
190 B3 = A3; B4 = A4
200 DEF FN R(X) = EXP (1.16592364 - .0339731661 * X - 5317464.55 * T ^ - 2.35)
210 DIM X(N): DIM T(M): DIM Y0(M)
220 DIM T0(M): DIM X1(M): DIM T1(M)
230 DIM A(L,N + 1)
240 T(M) = TS
250 FOR I = 0 TO N
260 P(I) = H * 2 * I / DR: HOME : HTAB 12: PRINT "POSICION RADIAL ":P(I)
270 HTAB 9: INPUT "TEMPERATURA DE ENTRADA ":T0(I)
280 X0(I) = 0
290 NEXT I
300 FOR J = 0 TO M - 1
310 Q = 0
320 FOR I = 0 TO N
330 X1(I) = X0(I): T1(I) = T0(I)
340 NEXT I
350 L = 0
360 FOR I = 1 TO M - 1
370 L = L + 1
380 A1 = 1 / (H * 2) - 1 / (H * 2 * I); A2 = 1 / (H * 2 * I) - 2 / (H * 2) + 2 * C1 / K1
390 A5 = 1 / (H * 2 * I) + 2 / (H * 2) + 2 * C1 / K1; A6 = - 1 / (H * 2 * I) - 1 / (H * 2)
400 X = X1(I) * 100
410 T = T1(I)
420 RP = FN R(X)
430 X = X0(I) * 100; T = T0(I)
440 RP = RP + FN R(X)
450 K = - 1
460 FOR S = 0 TO M
470 K = K + 1
480 IF S = 1 - I AND S < = I + 1 GOTO 500
490 GOTO 600
500 IF S = 1 - 1 GOTO 520
510 GOTO 530
520 A(L,K) = A1
530 IF S = 1 GOTO 550
540 GOTO 560
550 A(L,K) = A2
560 IF S = 1 + 1 GOTO 580

```

```

570 GOTO 600
580 IF I = N - 1 GOTO 600
590 A(L,K) = A3
600 NEXT S
610 A(L,N) = A4 * T0(I - 1) + A5 * T0(I) + A6 * T0(I + 1) - C2 * RP
620 IF I = N - 1 GOTO 640
630 GOTO 650
640 A(L,N) = A(L,N) - A3 * TS
650 NEXT I
660 A(0,0) = 1: A(0,1) = -1: A(0,N) = T0(0) - T0(1)
670 MS = N - 1
680 ON IX GOSUB 1570,1810
690 FOR I = 0 TO N - 1
700 T(I) = A(I,N)
710 NEXT I
720 FOR I = 0 TO N: FOR P = 0 TO N + 1
730 A(I,P) = 0
740 NEXT P: NEXT I
750 L = 0
760 FOR I = 1 TO N - 1
770 L = L + 1
780 B1 = 1 / (H ^ 2) - 1 / (H ^ 2 * I) * B2 = 1 / (H ^ 2 * 2) - 2 / (H ^ 2) + 2 * D1 / K1
790 B5 = 1 / (H ^ 2 * I) + 2 / (H ^ 2) + 2 * D1 / K1 * B6 = -1 / (H ^ 2 * I) - 1 / (H ^ 2)
800 X = X1(I) * 100
810 T = T(I)
820 RP = FN R(A)
830 X = X0(I) * 100: T = T0(I)
840 RP = RP + FN R(A)
850 K = -1
860 FOR S = 0 TO N
870 K = K + 1
880 IF S >= I - 1 AND S <= I + 1 GOTO 980
890 GOTO 950
900 IF S = I - 1 GOTO 920
910 GOTO 930
920 A(L,K) = B1
930 IF S = 1 GOTO 950
940 GOTO 960
950 A(L,K) = B2
960 IF S = 1 + 1 GOTO 980
970 GOTO 690
980 A(L,K) = B3
590 NEXT S
1000 A(L,N + 1) = A4 * T0(I - 1) + A5 * T0(I) + A6 * T0(I + 1) - C2 * RP
1010 NEXT I
1020 A(0,0) = 1: A(0,1) = -1: A(0,N + 1) = X0(0) - X0(1)
1030 A(1 + 1, N - 1) = 1: A(1, N) = -1: A(1, N + 1) = X0(N - 1) - X0(N)
1040 M2 = N
1050 ON IX GOSUB 1570,1810
1060 FOR I = 0 TO N
1070 X(I) = A(I, N + 1)
1080 NEXT I
1090 IF J = 0 GOTO 1110
1100 GOTO 1120
1110 X(N) = 0
1120 X1 = ABS(X1(0) - X1(1))
1130 T1 = ABS(T1(0) - T1(1))
1140 FOR I = 1 TO N
1150 X2 = ABS(X1(I) - X1(I))
1160 T2 = ABS(T1(I) - T1(I))

```

```

1170 IF A1 > X2 GOTO 1150
1180 X1 = A2
1190 IF T1 > T2 GOTO 1210
1200 T1 = T2
1210 NEXT I
1220 IF X1 < E1 AND T1 < E2 GOTO 1240
1230 GOTO 1420
1240 NAME IFF = 2 * INT (A2) / 20 / A2 + 1: IF PP < 1 GOTO 1401: FOR I
1250 NTAB 1: NTAB 2: PRINT "PROFUNDIDAD DE LECNO Z="A2) + 1) * KI
1260 NTAB 2: PRINT "-----"
1270 FOR I = 0 TO N
1280 PA = M * I / (GR / 24) + INT (A2) * 10000 * .5) / 100000 + INT (T2) * 10 * .5) / 10
1290 NTAB 1: NTAB 2: PRINT "T="A2) + 1) * KI: NTAB 1: PRINT "X="; X1: NTAB 2: PRINT "T="; T
1300 NEXT I
1310 NTAB 2: PRINT "-----"
1320 TAV = T(0) + T(1) + T(2) + T(3) + T(4) + T(5) + T(6) + T(7) + T(8) + T(9) + T(10) / 10
1330 XAV = X(0) + X(1) + X(2) + X(3) + X(4) + X(5) + X(6) + X(7) + X(8) + X(9) + X(10) / 10
1340 PRINT "LONGITUD * PROMEDIO" = XAV
1350 PRINT "TEMPERATURA PROMEDIO" = TAV
1400 FOR I = 0 TO N
1410 T(I) = T(I)
1420 X(I) = X(I)
1430 NEXT I
1440 FOR I = 0 TO N
1450 FOR P = 0 TO N * I
1460 ALL.P = 0
1470 NEXT P: NEXT I
1480 PRINT "FIN DEL PROCESO": STOP
1490 FOR I = 0 TO N
1500 T(I) = T(I)
1510 X(I) = X(I)
1520 NEXT I
1530 Q = Q + 1
1540 PRINT "Nº DE ITERACIONES" = Q
1550 FOR I = 0 TO N: FOR P = 0 TO N * I
1560 ALL.P = 0
1570 NEXT P: NEXT I
1580 GOTO 1600
1590 FOR I = 0 TO N
1600 IF I = 0 GOTO 1640
1610 FOR J = I + 1 TO N
1620 IF A(I,J) < 0 GOTO 1670
1630 NEXT J
1640 PRINT "MATEMÁTICA"
1650 FOR A = 1 TO N2 - 1
1660 Z = A(I,A) + A(J,A) = A(I,J)
1670 A(I,J) = Z
1680 NEXT A
1690 FOR J = N2 - 1 TO 1 STEP -1
1700 A(I,J) = A(I,J) + A(I,J)
1710 NEXT J
1720 FOR A = 0 TO N2
1730 FOR J = 0 TO N2
1740 A(I,J) = A(I,J) + A(I,J)
1750 NEXT J
1760 NEXT A

```

```

1790 NEXT I
1795 RETURN
1800 DATA 350.,.216.,.25.,.24.,.22769,1.6,31.2.,.125.,.065,2.06,2.197,10,100.,.001.,.01
1810 ALN STEP=4 FACILITADORA CRUT
1820 A(0,1) = A(0,1) / A(0,0)
1830 FOR I = 1 TO NS - 1
1840 A(I,1) = A(I,2) - A(I,I - 1) * A(I - 1,1)
1850 A(I,I + 1) = A(I,I + 1) / A(I,1)
1860 NEXT I
1870 A(NS,NS) = A(NS,NS) - A(NS,NS - 1) * A(NS - 1,NS)
1880 A(0,NS + 1) = A(0,NS + 1) / A(0,0)
1890 FOR I = 1 TO NS
1900 A(I,NS + 1) = (A(I,NS + 1) - A(I,I - 1) * A(I - 1,NS + 1)) / A(I,1)
1910 NEXT I
1920 FOR I = NS - 1 TO # STEP - 1
1930 A(I,NS + 1) = A(I,NS + 1) - A(I,I + 1) * A(I + 1,NS + 1)
1940 NEXT I
1950 RETURN
1960 VTAB 2: PRINT "-----"

```


PRINT CHR\$(15)

PRINT CHR\$(132N)

LIST

```
1 NAME : PRINT "ORIGEN DE O-XILENO"
2 : para los perfiles radiales de conversion y temperatura para un reactor tubular empacado con catalizador "OS"
3 TAB 001 PRINT "para continuar oprimir cualquier tecla"
4 READ A,N,M1,M2,DP,DI,D,M,PH,HA,Av,TC,FW,LL,CP,LR,H,N,E1,E2,E3
5 GO TO 130
10 FOR FRAC1 DE ORIGEN DE O-XILENO:
11 INPUT "FRACCION M1 A1=";M1: PRINT
12 INPUT "FRACCION M2 A2=";M2: PRINT
13 INPUT "FRACCION TOTAL M=";M3: PRINT
14 INPUT "CALOR DE REACCION Hkcal/gaci=";H1: PRINT
15 INPUT "CALOR DE COMBUSTION h0kcal/gaci=";H3: PRINT
16 INPUT "DIAMETRO DE PARTICULA dpm=";DP: PRINT
17 INPUT "SENSIDAD DE CATALIZADOR ob/gw*3i=";OB: PRINT
18 INPUT "FLUJO MASICO G/gw*2 hr=";F0: PRINT
19 INPUT "FEJLET MASA RADIAL Pmr=";PM: PRINT
20 INPUT "FEJLET TEMPERA RADIAL Pmr=";PM: PRINT
21 INPUT "PESO MOLECULAR PROMEDIO Fm=";FM: PRINT
22 INPUT "DEF. TRANS. CALOR awkcal/m*2hr C=";AW: PRINT
23 INPUT "TEMPERATURA DE ENFRIAMIENTO Tm C=";TM: PRINT
24 INPUT "DIAMETRO DEL REACTOR Dm=";DR: PRINT
25 INPUT "LONGITUD DEL REACTOR Lm=";LL: PRINT
26 INPUT "CAPACIDAD CALORIFICA Cpical/kg C=";CP: PRINT
27 INPUT "CONDUCTIVIDAD TERMICA k kcal/m C hr=";KR: PRINT
28 INPUT "PARTICION RADIAL h=";H: PRINT
29 INPUT "PARTICION AXIAL h=";H: PRINT
30 INPUT "ERROR DE CONV. Ew=";E1: PRINT
31 INPUT "ERROR DE TEMP. Et=";E2: PRINT
32 INPUT "ERROR DE TEMP. Et=";E3
33 DIM X(N) DIM XI(N) DIM AR(N) DIM WM(N) DIM W1(N) DIM W0(N) DIM T(N) DIM T1(N) DIM T0(N) DIM A1(N) DIM A2(N)
34 C1 = 1 / (M1C2 + 1 / PhD1 = DB * DP * HA / (G * MA) D2 = 1000 * DB * DP * - H1 / (G * CP) D3 = 1000 * DB * DP * - H3 /
35 (G * CP)
36 H = DR / (2 * DP * M) I = LL / (DP * M) A3 = 1 / (2 * H * 2)
37 DEF FN A3(X) = NA * h0 * ( EXP (- 27000 / (1.98 * (273 + T + 70)) + 19.837) * (1 - X - W) - EXP (- 31400 / (1.98 * (
38 273 + T + 70) + 20.86) * X)
39 DEF FN A2(X) = NA * H0 * ( EXP (- 31400 / (1.98 * (273 + T + T1) + 20.86) * X + EXP (- 28600 / (1.98 * (273 + T + T
40 0) + 18.57) * (1 - X - W))
41 FOR J = 0 TO M - 1
42 IX = 1
43 DEF FN A1(I) = A3 * I - 1 / I: DEF FN A2(I) = A3 / I - 1 / (C1 * XI) - 2 * A3: DEF FN A5(I) = A3 / I + 2 * A3 - 1 /
44 (C1 * XI): DEF FN A6(I) = - A5 * (1 - 1 / I): A4 = - A3
45 GOSUB 700
46 FOR I = 0 TO M
47 X(I) = A1 * I + 1: NEXT I
48 FOR I = 0 TO M: FOR P = 0 TO M + 1
49 A(I,P) = 0: NEXT P, I
50 IX = 2
51 GOSUB 700
52 FOR I = 0 TO M
53 W(I) = A1 * I + 1: NEXT I
54 FOR I = 0 TO M: FOR P = 0 TO M + 1
55 A(I,P) = 0: NEXT P, I
56 IX = 3
```

```

440 DEF FN A1(Z) = A3 * (1 - 1 / Z): DEF FN A2(Z) = A3 / (1 - (C2 * A1) - 2 * A3): DEF FN A5(Z) = - 1 / (C2 * A1) + A3
  I = 2: A5: DEF FN A6(Z) = - A3 * (1 + 1 / Z): A4 = - A3
450 GOSUB 790
460 FOR I = 0 TO M
470 T(I) = A1(I) - 1: NEXT I
480 FN I = 0 TO M: FOR P = 0 TO M + 1
490 A1(I) = A5 NEXT P, I
460 A1 = A5: (A1(I) - X(I)): W1 = ABS (A1(I) - W(I)): T1 = ABS (T1(I) - T(I))
470 FOR I = 1 TO M
480 A1 = A5: (A1(I) - X(I)): W2 = ABS (W1(I) - W(I)): T2 = ABS (T1(I) - T(I))
490 IF W1 > W2 GOTO 510
500 A1 = X2
510 IF W1 < W2 GOTO 530
520 W1 = W2
530 IF T1 > T2 GOTO 550
540 T1 = T2
550 NEXT I
560 IF W1 <= E1 AND W1 < E2 AND T1 < E3 GOTO 580
570 GOTO 600
580 WME = PPA: PPA = 5 * INT (CJ + 1) / SJ / (CJ + 1): IF PPA < 1 GOTO 610: NONE: VTAB 2: PRINT "-----"
590
595 VTAB 1: HTAB 5: PRINT "PROFUNDIDAD DE LECHO Z=": INT (10000 * CJ + 1) * K1 * DP + .5): 10000: VTAB 3: HTAB 2: PRINT "P.
  ACCUM": VTAB 3: HTAB 16: PRINT "CONVERSION": VTAB 3: HTAB 23: PRINT "TEMPERATURA"
600 VTAB 4: PRINT "-----"
610 FOR I = 0 TO M
620 VTAB I = 5: HTAB I: PRINT I / N: VTAB I + 5: HTAB 12: PRINT INT (X(I) * 10000 * .5) / 10000: VTAB I + 5: HTAB 22: PRINT
  INT (W(I) * 10000 * .5) / 10000: VTAB I + 5: HTAB 32: PRINT INT (T(I) * 1000 * .5) / 1000: NEXT I
630 VTAB I = 5: PRINT "-----"
640 X(I) = (X(I) + X(2) + X(3) + X(4) + X(5) + X(6) + X(7) + 4 * (X(1) + X(4) + X(7))) / 30 + (A1(I) + X(10)) / 20
650 W(I) = (W(I) + W(2) + W(3) + W(4) + W(5) + W(6) + W(7) + 4 * (W(1) + W(4) + W(7))) / 30 + (W1(I) + W(10)) / 20
660 T(I) = (T(I) + T(2) + T(3) + T(4) + T(5) + T(6) + T(7) + 4 * (T(1) + T(4) + T(7))) / 30 + (T1(I) + T(10)) / 20
670 PRINT "CONVERSION PROMEDIO XAV=": INT (XAV * 10000 * .5) / 10000: PRINT "CONVERSION PROMEDIO WAV=": INT (WAV * 10000 * .
  5) / 10000: PRINT "TEMPERATURA PROMEDIO TAV=": INT (TAV * 10 * .5) / 10
680 PPA = 0
690 FOR I = 0 TO M
700 A(I) = X(I): W(I) = W(I): T(I) = T(I)
710 NEXT I
720 PRINT "FIN DE PROCESO ": STOP
730 FOR I = 0 TO M
740 A1(I) = X(I): W1(I) = W(I): T1(I) = T(I)
750 NEXT I
760 GOTO 260
770 REM NUTRI: GENERADOR
780 L = 0.
790 FOR I = 1 TO M - 1
800 L = L + 1
810 A1 = FN A1(L): A2 = FN A2(L): A5 = FN A5(L): A6 = FN A6(L)
820 ON IX GOTO 760, 770, 780
830 X = X1(I): W = W1(L): T = T1(L): GOTO 790
840 X = X2(L): W = W2(L): T = T2(L): GOTO 800
850 X = X(I): W = W(I): T = T(I): GOTO 810
860 RB = FN RB(L): GOTO 820
870 RC = FN RC(L): GOTO 830
880 RD = FN RD(L): RC = FN RC(L)
890 R = X(I): W = W(I): T = T(I)
900 ON IX GOTO 840, 850, 860
910 RB = (RB + FN RB(R)) / 2: GOTO 870
920 RC = (RC + FN RC(R)) / 2: GOTO 870

```

```

520 A5 = (F5 + FN RB/C) / 2; AC = (RC + FN RC) / 2
570 A = -1
580 FOR S = 0 TO N
590 A = K + 1
600 IF S = I - 1 AND S < I + 1 GOTO 920
610 GOTO 1020
920 IF S = I - 1 GOTO 340
930 GOTO 350
940 A(I, S) = A1
950 IF S = I GOTO 970
960 GOTO 360
970 A(I, S) = A2
980 IF S = I + 1 GOTO 1020
990 GOTO 1010
1000 A(I, S) = A3
1010 NEXT S
1020 IN IX GOTO 1020, 1040, 1050
1030 A(I, N + 1) = A4 * X(I - 1) + A5 * X(I) + A6 * X(I + 1) - D1 * B5 / C1; GOTO 1055
1040 A(I, N + 1) = A4 * X(I - 1) + A5 * X(I) + A6 * X(I + 1) - D1 * B6 / C1; GOTO 1055
1050 A(I, N + 1) = A4 * X(I - 1) + A5 * X(I) + A6 * X(I + 1) - D2 * B7 / C2 - D3 * B8 / C2
1055 NEXT I
1060 ON I GOTO 1070, 1080, 1090
1070 A(I, 0) = 1; A(I, 1) = -1; A(I, 2) = 1; A(I, 3) = -1; A(I, 4) = 1; A(I, 5) = -1; A(I, 6) = 1; A(I, 7) = -1; A(I, 8) = 1; A(I, 9) = -1; GOTO 1100
1080 A(I, 0) = 1; A(I, 1) = -1; A(I, 2) = 1; A(I, 3) = -1; A(I, 4) = 1; A(I, 5) = -1; A(I, 6) = 1; A(I, 7) = -1; A(I, 8) = 1; A(I, 9) = -1; GOTO 1100
1090 A(I, 0) = 1; A(I, 1) = -1; A(I, 2) = 1; A(I, 3) = -1; A(I, 4) = 1; A(I, 5) = -1; A(I, 6) = 1; A(I, 7) = -1; A(I, 8) = 1; A(I, 9) = -1; GOTO 1100
1100 REM SISTEMA TRIANGONAL CRUD
1110 A(I, 1) = A(I, 1) / A(I, 0)
1120 FOR I = 1 TO N - 1
1130 A(I, 2) = A(I, 2) - A(I, 1) * A(I - 1, I)
1140 A(I, 3) = A(I, 3) - A(I, 2) / A(I, I)
1150 NEXT I
1160 A(I, N) = A(I, N) - A(I, N - 1) * A(I, N - 1, N)
1170 A(I, N + 1) = A(I, N + 1) / A(I, N)
1180 FOR I = 1 TO N
1190 A(I, N + 1) = (A(I, N + 1) - A(I, I - 1) * A(I - 1, N + 1)) / A(I, I)
1200 NEXT I
1210 FOR I = N - 1 TO 0 STEP -1
1220 A(I, N + 1) = A(I, N + 1) - A(I, I + 1) * A(I + 1, N + 1)
1230 NEXT I
1240 RETURN
1500 DATA .0024, .208, -.307, -.1090, .093, 1.920, 4.524, 10, 5, 25, 29, 3, 134, 357, 825, 2, .25, .67, 10, 500, .001, .001, .01

```

LIST

```

10 ACHE = PAV 3
20 PRINT "El presente programa resuelve ecuaciones diferenciales parciales de la forma
      (p(x,y)uxx + q(x,y)uyy + r(x,y)U = f(x,y) + g(x,y) en D"
      (p(x,y)uxx + q(x,y)uyy + r(x,y)U = f(x,y) + g(x,y) en L2"
30 PRINT "El sujeto a las condiciones frontera's PPRINT : PPRINT "U(x,y) = g(x,y) en L1" PPRINT : PPRINT "U(x,y) = h(x,y) en L2"
40 INPUT "NUMERO DE TRIANGULOS M=":M
50 INPUT "NUMERO DE TRIANGULOS FRONTERA N1=":N1
60 INPUT "NUMERO DE NODOS TOTALES E=":E
70 INPUT "NUMERO DE NODOS FRONTERA W=":W
80 INPUT "NUMERO DE ECUACIONES EN A=":A
90 INPUT "NUMERO DE ELEMENTOS DE INTEGRACION M1=":M1
100 INPUT "NUMERO DE ELEMENTOS DE INTEGRACION M2=":M2
110 INPUT "Sea P(1) si P(x,y) es lineal o P(2) si es no lineal P(1)=1 P(2)=2
120 INPUT "Sea Q(1) si Q(x,y) es lineal o Q(2) si es no lineal Q(1)=1 Q(2)=2
130 INPUT "Sea F(1) si F(x,y) es lineal, F(2) si es nula o F(3) si es no lineal F(1)=1 F(2)=2 F(3)=3
140 INPUT "Sea G(1) si G(x,y) es nula, G(2) si es no lineal o G(3) si es lineal G(1)=1 G(2)=2 G(3)=3
150 INPUT "Sea H(1) si H(x,y) es nula o H(2) si es no nula H(1)=1 H(2)=2
160 INPUT "Sea I(1) si I(x,y) es nula o I(2) si es no nula I(1)=1 I(2)=2
170 DIM X(1:M), Y(1:M), X1(1:N1), Y1(1:N1), X2(1:M1), Y2(1:M1), X3(1:M2), Y3(1:M2), X4(1:M3), Y4(1:M3), X5(1:M4), Y5(1:M4)
180 FOR I = 1 TO M
190 FOR J = 1 TO 3
200 READ X(I,J), Y(I,J)
210 NEXT J
220 FOR I = 1 TO E
230 READ EX(I), EY(I)
240 NEXT I
250 FOR I = 1 TO M
260 READ X(I), Y(I)
270 NEXT I
280 E(1,1) = I*(2,2) = 1:E(3,3) = 1
290 FOR L = 1 TO M
300 P = 1
310 FOR P = 1 TO E
320 IF L = P GOTO 340
330 GOTO 480
340 FOR I = 1 TO M
350 FOR J = 1 TO 3
360 IF X(I,J) = EX(P) AND Y(I,J) = EY(P) GOTO 380
370 NEXT J
380 GOTO 470
390 K = J
400 IX = 1: GOTO 1190
410 A(I,L,P) = 4 * P * I + I2 - I3
420 PRINT "A(I,L,P) = " A(I,L,P)
430 PRINT "I = " I
440 IF I <= M1 GOTO 450
440 GOTO 470
450 IX = 1: GOTO 2560
460 A(I,L,P) = A(I,L,P) + I4
470 NEXT I: GOTO 670
480 IF P = L GOTO 500
490 GOTO 460
500 FOR I = 1 TO M
510 FOR J = 1 TO 3
520 IF X(I,J) = EX(P) AND Y(I,J) = EY(P) GOTO 540
530 NEXT J: GOTO 650
540 FOR K = 1 TO 3

```

```

550 IF X(A,I) = EX(I) AND Y(K,I) = EY(I) GOTO 570
560 NEXT A: GOTO 650
570 Z = Z + 1: GOTO 1130
580 ALL(P) = ALL(P) + I1 + I2 - I3
590 ALL(L) = ALL(P)
600 IF I = 4 THEN GOTO 620
610 GOTO 650
620 Z = Z + 1: GOTO 2560
630 ALL(P) = ALL(P) + I4
640 ALL(L) = ALL(P)
650 NEXT Z: GOTO 670
660 IF P = 4 THEN GOTO 680
670 NEXT P
680 FOR S = N + 1 TO E
690 FOR I = 1 TO M
700 FOR J = 1 TO 3
710 IF X(I,S) = EX(I) AND Y(J,I) = EY(I) GOTO 730
720 NEXT J: GOTO 820
730 FOR A = 1 TO 3
740 IF X(A,I) = EX(S) AND Y(K,I) = EY(S) GOTO 760
750 NEXT A: GOTO 820
760 Z = Z + 1: GOTO 1130
770 ALL(S) = ALL(S) + I1 + I2 - I3
780 IF I = 4 THEN GOTO 800
790 GOTO 820
800 Z = Z + 1: GOTO 2560
810 ALL(S) = ALL(S) + I4
820 NEXT I,S
830 FOR S = N + 1 TO E
840 GOTO 3050
850 ALL(S) = ALL(S) + 65
860 NEXT S
870 A = 1
880 FOR I = 1 TO M
890 FOR J = 1 TO 3
900 IF X(J,I) = EX(I) AND Y(J,I) = EY(I) GOTO 920
910 NEXT J: GOTO 1000
920 A = J
930 Z = Z + 1: GOTO 1130
940 ALL(I) = ALL(I) - I7
950 IF I = 4 THEN GOTO 970
960 GOTO 1000
970 Z = Z + 1: GOTO 2560
980 ALL(I) = ALL(I) + I8
990 PRINT "E("I;")=";ALL(I)
1000 NEXT I,L
1010 FOR I = 1 TO M
1020 A(I,M + 1) = B(I)
1030 NEXT I
1040 Z = CPEB(4)
1050 CALL 1000: PRINT Z: OPEN DATOS*
1060 PRINT "WRITE DATOS*"
1070 PRINT A: PRINT C
1080 FOR I = 1 TO M: FOR J = 1 TO M + 1
1090 PRINT A(I,J)
1100 NEXT J,I
1110 FOR I = 1 TO M
1120 FOR J = 1 TO 3
1130 PRINT "X(I;J)=Y(J;I): NEXT J,I

```

ESTA TESIS NO DEBE
SALIR DE LA BIBLIOTECA

```

1140 FOR I = 1 TO E
1150 PRINT "EJEMPLO 10: RESOLUCION DE UN SISTEMA DE ECUACIONES LINEALES"
1160 PRINT "CON EL METODO DE GAUSS-JORDAN"
1170 PRINT "CON EL METODO DE GAUSS-JORDAN"
1180 STOP
1190 REM RESOLUCION DE UN SISTEMA DE ECUACIONES LINEALES
1200 IS = 0
1210 GOTO 1250
1220 IF X(1,1) = X(2,1) AND X(1,2) = X(2,2) AND X(1,3) = X(2,3) GOTO 1270
1230 IF X(1,1) = X(3,1) AND X(1,2) = X(3,2) AND X(1,3) = X(3,3) GOTO 1360
1240 IF X(1,1) = X(4,1) AND X(1,2) = X(4,2) AND X(1,3) = X(4,3) GOTO 1450
1250 IF X(2,1) = X(3,1) AND X(2,2) = X(3,2) AND X(2,3) = X(3,3) GOTO 1540
1260 IF X(3,1) = X(4,1) AND X(3,2) = X(4,2) AND X(3,3) = X(4,3) GOTO 1630
1270 PRINT "SISTEMA DE ECUACIONES LINEALES SIN SOLUCION"
1280 STOP
1290 X1 = X(1,1):X2 = X(1,2):X3 = X(1,3):X4 = X(2,1)
1300 N1 = X(1,1) - X(3,1)
1310 Z1 = X(3,2) - N1 * X(2,2)
1320 X2 = X(2,2) - X(1,2) / (X(2,2) - X(1,2))
1330 Z2 = X(1,2) - N2 * X(1,1)
1340 N3 = N1 * X(3,3)
1350 X4 = (X(3,3) - X(2,3)) / (X(3,3) - X(2,3))
1360 N1 = X(3,1) - X(1,1)
1370 Z1 = X(1,2) - N1 * X(1,1)
1380 N2 = X(3,2) - N1 * X(2,2)
1390 Z2 = X(1,2) - N2 * X(1,1)
1400 X1 = (X(3,1) - X(2,1)) / (X(3,1) - X(2,1))
1410 Z1 = X(1,2) - N1 * X(1,1)
1420 N3 = X(3,3) - X(2,3)
1430 X4 = (X(3,3) - X(2,3)) / (X(3,3) - X(2,3))
1440 GOTO 1530
1450 X3 = X(1,1):X4 = X(2,1)
1460 N3 = X(3,2) - X(1,2) / (X(3,1) - X(1,1))
1470 Z3 = X(1,2) - N3 * X(1,1)
1480 N4 = X(3,3) - X(2,3) / (X(3,1) - X(2,1))
1490 Z4 = X(1,2) - N4 * X(2,1)
1500 Z1 = 0:Z2 = 0:Z3 = 0:Z4 = 0
1510 GOTO 1720
1520 X3 = X(1,2):X4 = X(2,2)
1530 N3 = X(3,1) - X(1,1) / (X(3,2) - X(1,2))
1540 Z3 = X(1,2) - N3 * X(1,1)
1550 N4 = X(3,3) - X(2,3) / (X(3,2) - X(2,2))
1560 Z4 = X(1,2) - N4 * X(2,2)
1570 Z1 = 0:Z2 = 0:Z3 = 0:Z4 = 0
1580 GOTO 1720
1590 A = X1:Z = Z1
1600 C = Z1 * X1 - N1 * Z1 + Z2 * X2 - N2 * Z2
1610 IF A = 0 GOTO 1630
1620 GOTO 1780
1630 X1 = 1:Z1 = 1: ON PI GOTO 3270,1660
1640 Z1 = IS
1650 X2 = 2:Z2 = 2: ON P2 GOTO 3270,1660
1660 Z2 = IS
1670 X3 = 3:Z3 = 3: ON P3 GOTO 3550,1660
1680 Z3 = IS
1690 GOTO 1720
1700 X4 = 4:Z4 = 4: ON P4 GOTO 3270,3550,1660
1710 Z4 = IS
1720 A = X3:Z = Z4

```

```

1730 I = 21 * I + K12 * C4 * I = N4
1740 IF A = 0 GOTO 1760
1750 GOTO 1850
1760 I = 1 * I + 5 * ON P1 GOTO 3270,1860
1770 I = 2 * I + 5 * I * 31 * 82
1780 I = 3 * I + 6 * ON G1 GOTO 3270,1860
1790 I = 4 * I + 5 * I * C1 * C2
1800 I = 5 * I + 7 * ON K1 GOTO 3550,1860
1810 I = 2 * I
1820 GOTO 1850
1830 I = 4 * I + 6 * ON F1 GOTO 3170,2550,1860
1840 I = 2 * I
1850 I = 2 * I * 400 * 730 * 770 * 540
1860 RE = INTEGRAL SIMPLE DE SIMPSON 3/8
1870 "I" "864"
1880 I = 5 * I + 16 * NN * 33
1890 I = 4 * I + 6 * NN * H1L = 1: GOTO 2150
1900 I = F
1910 I = A + 16 * NN * 11 * H1L = 2: GOTO 2150
1920 I = 4 * I + 3 * F
1930 I = 4 * I + 16 * NN * 21 * H1L = 3: GOTO 2150
1940 I = 4 * I + 3 * F
1950 I = 4 * I + 16 * NN * 31 * H1L = 4: GOTO 2150
1960 I = 4 * I + 3 * F162 = 0
1970 IF I = 0 THEN NN = 1
1980 I = 4 * I + 16 * II * H1L = 5: GOTO 2150
1990 I = 4 * I + 3 * F
2000 I = 4 * I + 16 * II + 1 * H1L = 6: GOTO 2150
2010 I = 4 * I + 3 * F
2020 I = 4 * I + 16 * II + 2 * H1L = 7: GOTO 2150
2030 I = 4 * I + 3 * F
2040 I = 4 * I + 16 * II + 3 * H1L = 8: GOTO 2150
2050 I = 4 * I + 3 * F
2060 I = 4 * I + 16 * II + 4 * H1L = 9: GOTO 2150
2070 I = 4 * I + 3 * F
2080 I = 4 * I + 16 * II + 5 * H1L = 10: GOTO 2150
2090 I = 4 * I + 3 * F
2100 I = 4 * I + 16 * II + 6 * H1L = 11: GOTO 2150
2110 I = 4 * I + 3 * F
2120 NEXT I
2130 IS = IS + 32 * 3 * N / 8
2140 ON I GOTO 1840,1850,1850,1710,1770,1750,1810,1840
2150 RE = INTEGRAL SIMPLE DE SIMPSON 3/8
2160 I = C * K1 * X
2170 I = 0 * I + X
2180 I = 1 * I - C * I / (6 * NN + 3)
2190 I = 1 * I - 3 * NN * K1 * I = 1
2200 ON M1 GOTO 3100,3120,3140,3160,3180,3210
2210 F1 = U * Y
2220 I = C * I + 16 * NN * 1 * K1 * I = 2
2230 ON M1 GOTO 3100,3120,3140,3160,3180,3210
2240 F1 = F1 + 3 * U * Y
2250 I = C * I + 16 * NN * 2 * K1 * I = 3
2260 ON M1 GOTO 3100,3120,3140,3160,3180,3210
2270 F1 = F1 + 3 * U * Y
2280 I = C * I + 16 * NN * 3 * K1 * I = 4
2290 ON M1 GOTO 3100,3120,3140,3160,3180,3210
2300 F1 = F1 + U * Y * F2 = 0
2310 F * F2 = 0 TO NN - 1

```

```

232r r = 7 + 5 * J2 * A11N7 = 7
233r ON 4, 1070 3100,3110,3140,3150,3160,3210
234r F1 = F1 + 0X
235r r = 7 + 5 * J2 + J3 * A11N5 = 8
236r ON 4, 1070 3100,3110,3140,3150,3160,3210
237r F1 = F1 + 0X
238r r = 7 + 5 * J2 + J3 * A11N7 = 7
239r ON 4, 1070 3100,3110,3140,3150,3160,3210
240r F1 = F1 + 0X
241r r = 7 + 5 * J2 + J3 * A11N5 = 8
242r ON 4, 1070 3100,3110,3140,3150,3160,3210
243r F1 = F1 + 0X
244r r = 7 + 5 * J2 + J3 * A11N7 = 9
245r ON 4, 1070 3100,3110,3140,3150,3160,3210
246r F1 = F1 + 0X
247r r = 7 + 5 * J2 + J3 * A11N7 = 10
248r ON 4, 1070 3100,3110,3140,3150,3160,3210
249r F1 = F1 + 0X
250r r = 7 + 5 * J2 + J3 * A11N7 = 11
251r ON 4, 1070 3100,3110,3140,3150,3160,3210
252r F1 = F1 + 0X
253r NEXT J2
254r r = F1 + F2 + 3 * N1 / 8
255r ON 1, 1 TO 1900,1910,1940,1960,1970,2010,2030,2050,2070,2090,2110,2270,2310
256r REM INTEGRAL DE LINEA
257r r = 0X = 0
258r FOR J1 = 1 TO W
259r FOR J2 = 1 TO J
260r IF A11(J1, J2) = 0A(1) AND Y(22, J1) = 0(1) GOTO 2620
261r NEXT J2 GOTO 2650
262r 0 = 0 * r
263r 0(0) = 0A(J1)
264r 0(1) = 0A(J2)
265r NEXT J1
266r 0 = 210 = 0
267r 0 = 210 = 0
268r 0 = 0
269r IF 0 = 0 GOTO 2690
270r IF 0 = 1 GOTO 2930
271r 0L = 51 * 0 = 5X
272r 2 = 210 * 0C = C(13) - C(12)
273r 2D = 210 * 0D = D(13) - D(12)
274r 00 = 0
275r 03 = 300 * 0C * 2 + 0D * 2)
276r 04 = 110 * 0L + 4 * 0N 70 GOTO 3570,2150,3390
277r 05 = F * 05
278r 0C = C(1) * 0C + C(2) - C(1)
279r 0D = D(1) * 0D + D(2) - D(1)
280r 00 = 1
281r 05 = 300 * 0C * 2 + 0D * 2)
282r 04 = 131 * 0L + 5 * 0N 70 GOTO 5570,2150,3390
283r 05 = 15 * F * 05
284r IF 0 = 1 GOTO 1860
285r 04 = 15 * 05 GOTO 2870
286r 00 = 15
287r ON J1 GOTO 450,630,810,990
288r IF 0 = 1 GOTO 2910
289r 0X = 51 * 2 = 5X
290r GOTO 2780

```



```

2510 M1 = E1Y = 6X
2520 SOTO 3500
2530 M1 = E1Y = 6X
2540 SOTO 3500
2550 REM PLANTONES LINEALMENTE INDEPENDIENTES
2560 I1 = -X(1,I) * Y(1,I) - X(3,I) * Y(2,I) + X(1,I) * Y(2,I) - Y(3,I) + Y(1,I) * X(3,I) - X(2,I)
2570 O1 = E(1,I) * X(1,I) * Y(3,I) - X(3,I) * Y(2,I) + X(1,I) * Y(2,I) + E(3,I) * Y(1,I) - E(2,I) * Y(3,I) + Y(1,I) * E(2,I) + X(
I,I) - E(3,I) * X(2,I)
2580 I2 = E(1,K) * X(1,I) * Y(3,I) - X(3,I) * Y(2,I) + X(1,I) * Y(2,I) + E(3,K) * Y(2,I) - E(2,K) * Y(3,I) + Y(1,I) * E(2,K) + X(
I,I) - E(3,K) * Y(2,I)
2590 I3 = E(1,I) * Y(3,I) - E(3,I) * Y(2,I) + E(1,I) * Y(2,I) - Y(3,I) + Y(1,I) * E(3,I) - E(2,I)
2600 I4 = E(1,K) * Y(3,I) - E(3,K) * Y(2,I) + E(1,K) * Y(2,I) - Y(3,I) + Y(1,I) * E(3,K) - E(2,K)
2610 O2 = -X(1,I) * E(3,I) - X(3,I) * E(2,I) + X(1,I) * E(2,I) - E(3,I) + E(1,I) * X(3,I) - X(2,I)
2620 I5 = -X(2,I) * E(3,K) - X(3,I) * E(2,K) + X(1,I) * E(2,K) - E(3,K) + E(1,K) * X(3,I) - X(2,I)
2630 A1 = D1 / DS1A2 = D2 / DS1B1 = D3 / DS1C1 = D4 / DS1C1 = D5 / DS1C2 = D6 / DS
2640 SOTO 1200
2650 DATA 0,2,0,4,2,2,2,2,2,4,2,1,1,4,0,4,2,5,1,5,1,6,1,6,0,0,0,0,2,2,2,2,0,0,2,2,2,0,3,0,2,2,
2,3,0,2,0,3,1,4,0,3,1,4,2,4,0,4,0,5,1,6,0
2660 DATA 2,2,4,2,3,1,5,1,6,1,0,4,0,2,0,0,2,0,4,0,6,0
2670 DATA 0,4,2,2,2,2,5,1,6,1,6,0
2680 G0 = 4
2690 SOTO 530
2700 G01 = 1
2710 ON N1 GOTO 2210,2240,2270,2300,2340,2370,2400,2430,2460,2490,2520,3440,3470,3510
2720 G01 = 1
2730 ON N1 GOTO 2210,2240,2270,2300,2340,2370,2400,2430,2460,2490,2520,3440,3470,3510
2740 G01 = 0
2750 ON N1 GOTO 2210,2240,2270,2300,2340,2370,2400,2430,2460,2490,2520,3440,3470,3510
2760 G01 = 0
2770 ON N1 GOTO 2210,2240,2270,2300,2340,2370,2400,2430,2460,2490,2520,3440,3470,3510
2780 X = I * DC * Y11 = ZD + DD * Y
2790 Y1 = 0
2800 ON N1 GOTO 2210,2240,2270,2300,2340,2370,2400,2430,2460,2490,2520,3440,3470,3510
2210 I = I - DC * Y11 = ZD + DD * Y
2220 ON N1 GOTO 2230,2240,2250,2250
2230 G01 = IX + Y1 * (A1 + B1 * X + C1 * Y) / SQR (2) : GN NX GOTO 2210,2240,2270,2300,2340,2370,2400,2430,2460,2490,2520,3440,3470,3510
0,3470,3510
2240 G01 = A * (A1 + B1 * X + C1 * Y) : ON NX GOTO 2210,2240,2270,2300,2340,2370,2400,2430,2460,2490,2520,3440,3470,3510
2250 ZF = 1 : GOTO 3240
2260 G01 = (A1 + B1 * X + C1 * Y) : ON NX GOTO 2210,2240,2270,2300,2340,2370,2400,2430,2460,2490,2520,3440,3470,3510
2270 REM INTEGRAL DOBLE TRAPEZIO
2280 H = 12 - 41 / NN
2290 X = 105 = 11 GOTO 3390
2300 G1 = F
2310 X = 111 = 21 GOTO 3390
2320 G1 = 11 + F12 = 0
2330 F12 = 1 TO NN - 1
2340 X = 4 + I1 * H10 = 31 GOTO 3390
2350 I2 = 32 + F
2360 NEAT I1
2370 I2 = H * (G1 + 2 * G2) / 2
2380 ON N1 GOTO 1640,1660,1680,1710,1770,1770,1810,1840
2390 REM INTEGRAL G2=15 DEL TRAPEZIO
2400 CX = C + HC * X
2410 CY = E + H2 * X11 = (CX - CY) / NN
2420 Y = CY + Y1 = 12
2430 ON N1 GOTO 3100,3120,3140,3160,3180,3210
2440 F1 = G11
2450 Y = Y11 = 13

```

3450 SW 41 3070 3100,3110,3140,3160,3180,3210
3470 F1 = F2 + 1X F2 = 0
3480 FOR J1 = 1 TO 99 : 1
3490 J = J1 * 1147 : 14
3500 CN 41 3070 3100,3120,3140,3160,3180,3210
3510 F1 = F2 + 0X
3520 NEXT J1
3530 F = K1 * F1 + 3 * F2 + 2
3540 SW 41 0.70 3300,3320,3350,3370,3390
3550 IS = 0
3560 3070 3350
3570 F = -
3580 3070 3540

```
PRINT CHR$(15)
```

```
PRINT CHR$(9);"132N"
```

```
(LIST
```

```
10 REM SOLUCION DE LA MATRIZ REF POR GAUSS JORDAN
20 DS = CHR$(4)
30 PRINT "1:";"OPEN DATOS"
40 PRINT "2:";"READ DATOS"
45 INPUT N: INPUT E: INPUT M
50 DIM X(1..N): DIM Y(1..M): DIM EX(E): DIM EY(E): DIM J(E): DIM A(M,N + 1)
60 FOR I = 1 TO N: FOR J = 1 TO M + 1
70 INPUT A(I,J)
80 NEXT J,I
91 FOR I = 1 TO 4: FOR J = 1 TO 3: INPUT X(J),Y(J): NEXT J,I
92 FOR I = 1 TO E: INPUT EX(I),EY(I): NEXT I
95 PRINT "3:";"CLOSE DATOS"
100 FOR I = 1 TO M
110 IF A(I,I) < 0 GOTO 210
120 IF I = M GOTO 160
130 FOR J = I + 1 TO M
140 IF A(J,I) < 0 GOTO 170
150 NEXT J
160 PRINT "MATRIZ SINGULAR:"; STOP
170 FOR K = I TO M + 1
180 Z = A(I,K): A(I,K) = A(J,K)
190 A(J,K) = Z
200 NEXT K
210 FOR J = M + 1 TO I STEP - 1
220 A(I,J) = A(I,J) / A(I,I)
230 NEXT J
240 FOR K = 0 TO M
250 IF K = I GOTO 290
260 FOR J = M + 1 TO I STEP - 1
270 A(K,J) = A(K,J) - A(K,I) * A(I,J)
280 NEXT J
290 NEXT K
300 NEXT I
310 GOTO 400
320 FOR I = 1 TO M
330 G(I) = A(I,M + 1): NEXT I
340 G(I) = A(I,M + 1) / A(I,I)
350 G(I) = G(I) * E: NEXT I
420 DS = CHR$(4)
430 PRINT "4:";"OPEN MULTIPLICADORES"
440 PRINT "5:";"WRITE MULTIPLICADORES"
450 PRINT "6:";"PRINT E: PRINT N
460 FOR I = 1 TO E
470 PRINT G(I): NEXT I
471 FOR I = 1 TO M: FOR J = 1 TO 3: PRINT X(J),Y(J);" ";NEXT J,I
472 FOR I = 1 TO E: PRINT EX(I);" ";EY(I): NEXT I
480 PRINT "7:";"CLOSE MULTIPLICADORES"
490 PRINT "8:";"N REF 3 PARTE"
```

6
CPRINT CHEB15)

CPRINT CHEB15."13'N"

CLIST

```
10 REN NEF 3'PARTE
20 DS = CHR(14)
30 PRINT DS:"PEM MULTIP. CASOSRES"
40 PRINT DS:RE4: "MULTIP. CASOSRES"
50 INPUT M: INPUT E: INPUT N: DIM X(3,M): DIM Y(3,M): DIM EV(E): DIM E1(E): DIM S(E)
60 FOR I = 1 TO E: INPUT "X(I,1)"; X(I,1): NEXT I
70 FOR I = 1 TO E: FOR J = 1 TO 3: INPUT X(I,2); X(I,3): NEXT J: I
80 FOR I = 1 TO E: INPUT E1(I); E1(I): NEXT I
90 PRINT DS:"CUL SE MULTIP. CASOSRES": M:ME
91 PRG 1: VTAB 1: HTAB 6: PRINT "SOL. COM DE LA EDP ELIPTICA"
92 VTAB 2: PRINT "X(I,J) = a * b + c y para (I,J) en T4"
93 VTAB 3: PRINT "-----"
94 VTAB 4: HTAB 5: PRINT "a": VTAB 4: HTAB 16: PRINT "b": VTAB 4: HTAB 26: PRINT "c": VTAB 4: HTAB 36: PRINT "T4"
95 VTAB 4: PRINT "-----"
100 E(1,1) = 1: E(1,2) = 1: E(1,3) = 1
110 A = 0: B = 0: C = 0
120 FOR K = 1 TO M: I = K
130 FOR J = 1 TO 3
140 FOR P = 1 TO E
150 IF X(J,I) = E1(P) AND Y(J,I) = E1(P) GOTO 210
160 NEXT P: J
170 VTAB K + 6: HTAB 1: PRINT INT (A * 100000 + .5) / 100000: VTAB K + 6: HTAB 15: PRINT INT (B * 100000 + .5) / 100000:
VTAB K + 6: HTAB 25: PRINT INT (C * 100000 + .5) / 100000: VTAB K + 6: HTAB 37: PRINT K
180 A = 0: B = 0: C = 0
190 NEXT K
195 VTAB K + 7: PRINT "-----"
196 PRG 2
200 STOP
210 REN POLINOMIOS LINEALMENTE INDEPENDIENTES
220 DS = X(1,1) * Y(1,1) - X(1,2) * Y(1,2) + X(1,3) * Y(1,3) * (Y(2,1) - Y(3,1)) + Y(1,1) * (X(3,2) - X(2,2))
230 D1 = E1(1,1) * (X(2,1) * Y(3,2) - X(3,1) * Y(2,2)) + Y(1,1) * (E(1,3) * Y(2,1) - E(2,3) * Y(3,2)) + Y(1,1) * (E(2,3) * X(3,2) - E(3,3) * X(2,2))
240 D2 = E1(2,1) * Y(1,1) - E(1,3) * Y(2,2) + E1(1,3) * (Y(2,1) - Y(3,1)) + Y(1,1) * (E(1,3) - E(2,3))
250 D3 = X(2,1) * E(1,3) - X(3,1) * E(2,3) + X(1,2) * (E(2,3) - E(3,3)) + E1(1,3) * (X(3,2) - X(2,2))
260 A = A + D1 / DS: B = B + D2 / DS: C = C + D3 / DS: JOT: 150
```

```

PRINT CHR$(15)
PRINT CHR$(10);"1315"

```

```

LIST

```

```

1  PRR 3: HOME : PRINT "El presente programa resuelve ecuaciones de la forma: A PRINT : PRINT " A1x²+Ux + A2=0; A
  3(4)Uy + A4(4) = A(4) : PRINT " donde A = (x,y,U,V,y,4)"
2  VTAS 22: PRINT "para determinar opronar cualquier tecla": GET A$
10  REM METODO DE LAS 15 RAÍCES CARACTERÍSTICAS
20  DEF FN A1(X) = 1
30  DEF FN A2(X) = 0
40  DEF FN A3(X) = - 1
50  DEF FN A4(X) = 50 + 2.141516 * 2 * (U + T * U)
60  DEF FN F(X) = 0
70  DEF FN DF(X) = 0
80  DEF FN G(X) = SIN(10 * 3.141516 * X)
85  HOME
100 INPUT "M=?:M: INPUT "N=?:N
110 INPUT "L=?:L: INPUT "T=?:T:N
120 INPUT "ERROR PERMITIDO. E=?:E
130 DIM X(1..N): DIM T(1..N): DIM U(1..N): DIM U2(1..N)
150 M = L / M: N = T / N
160 FOR I = 0 TO M
170 X = I * N
180 U(0,I) = FN A1(X)
190 U1(0,I) = FN DF(X)
200 U2(0,I) = FN G(X)
210 X(0,I) = X:T(0,I) = 0
220 NEXT I
230 S = 0
240 S = S + 1
250 FOR I = 0 TO M - 1
260 X = X + (N) * T + T(0,I)
270 U = U(0,I) * U1 + U1(0,I) * U2 + U2(0,I)
280 A1 = FN A1(X)
290 A2 = FN A2(X)
300 A3 = FN A3(X)
310 A4 = FN A4(X)
320 DISC = A2 * 2 - 4 * A1 * A3
330 IF DISC > 0 GOTO 350
340 PRINT "ECUACION NO HIPERBOLICA"
350 M1 = (A2 + SQR(DISC)) / (2 * A1)
360 IF M1 > 0 GOTO 400
370 M1 = (A2 - SQR(DISC)) / (2 * A1)
380 IF M1 > 0 GOTO 400
390 PRINT "TIENE DOS PENDIENTES CON IGUAL SIGNO": STOP
400 X = X(0,I) + 1:T = T(0,I) + 1
410 U = U(0,I) + 1:U1 = U1(0,I) + 1:U2 = U2(0,I) + 1
420 A5 = FN A1(X)
430 A6 = FN A2(X)
440 A7 = FN A3(X)
450 A8 = FN A4(X)
460 DISC = A5 * 2 - 4 * A6 * A7
470 IF DISC > 0 GOTO 490
480 PRINT "ECUACION NO HIPERBOLICA": STOP
490 M2 = (A6 + SQR(DISC)) / (2 * A5)
500 IF M2 < 0 GOTO 540
510 M2 = (A6 - SQR(DISC)) / (2 * A5)
520 IF M2 < 0 GOTO 540
530 PRINT "TIENE DOS PENDIENTES CON IGUAL SIGNO": STOP

```

```

540 X0 = (M1 * X(0,I) - M2 * X(0,I + 1) + T(0,I) + 1) - T(0,I) / (M1 - M2)
550 T0 = T(0,I) + M1 * (X0 - X(0,I))
560 B1 = (M1 + M2) / 2 * C2 + (M2 + M1) / 2 * C3 + (M3 + M2) / 2 * C4 + (M4 + M3) / 2 * C5 + (M5 + M4) / 2 * C6 + (M6 + M5) / 2 * C7
570 M3 = M1 * M4 = M2
580 C1 = (M1 + M2) / 2 * C2 + (M2 + M3) / 2 * C3 + (M3 + M4) / 2 * C4 + (M4 + M5) / 2 * C5 + (M5 + M6) / 2 * C6 + (M6 + M7) / 2 * C7
590 C2 = (M1 + M2) / 2 * C3 + (M2 + M3) / 2 * C4 + (M3 + M4) / 2 * C5 + (M4 + M5) / 2 * C6 + (M5 + M6) / 2 * C7
600 C3 = (M1 + M2) / 2 * C4 + (M2 + M3) / 2 * C5 + (M3 + M4) / 2 * C6 + (M4 + M5) / 2 * C7
610 C4 = (M1 + M2) / 2 * C5 + (M2 + M3) / 2 * C6 + (M3 + M4) / 2 * C7
620 C5 = (M1 + M2) / 2 * C6 + (M2 + M3) / 2 * C7
630 U1 = (M1 - M2) / (M3 - M4)
640 U2 = (M1 - M2) / (M3 - M4)
650 J = U1 * (M1 + M2) + U2 * (M1 + M2) * X(0,I) + (U1 * (M1 + M2) + U2) * (T0 - T(0,I)) + 1
660 U = U + U1 * (M1 + 1) + (U1 * (M1 + 1) + U2) * (X0 - X(0,I) + 1) + (U1 * (M1 + 1) + U2) * (T0 - T(0,I) + 1) + 1
670 U = U + U1 * (M1 + 1)
680 X = X0 + T0
690 B1 = FN A1(X) * B2 = FN A2(X) * B3 = FN A3(X) * B4 = FN A4(X)
700 C1C2 = E - 1 - 2 - 4 * B1 * B2
710 IF B1C2 = 0 GOTO 730
720 PRINT "SOLUCION DE LA ECUACION DIFERENCIAL" STOP
730 M3 = (M1 + M2) / 2 * B1 * C1C2 / (1 + B1)
740 IF M3 = 0 GOTO 750
750 M3 = (M1 + M2) / 2 * B1 * C1C2 / (1 + B1)
760 M4 = (M1 + M2) / 2 * B1 * C1C2 / (1 + B1)
770 GOTO 770
780 M4 = (M1 + M2) / 2 * B1 * C1C2 / (1 + B1)
790 IF M4 = 0 GOTO 810
800 PRINT "SOLUCION CON DOS PENDIENTES DE IGUAL SIGNO" STOP
810 M1 = (M1 + M2) / 2 * C1C2 + (M2 + M1) / 2
820 X1 = (M1 * X(0,I) - M2 * X(0,I + 1) + T(0,I) + 1) - T(0,I) / (M1 - M2)
830 T1 = T(0,I) + M1 * (X1 - X(0,I))
835 IF M1 = 1 THEN G = U: GOTO 860
840 IF ABS (X1 - X1) < E AND ABS (T1 - T1) < E GOTO 860
850 X0 = X1 * T0 + T1 * U: GOTO 890
860 IF ( - 1) * S = - 1 GOTO 890
870 X(1,I) = X1 * T(1,I) + T1
880 U(1,I) = U * U1 * (1,I) = U1 * U2 * (1,I) = U2
890 GOTO 920
900 X(1,I + 1) = X1 * T(1,I + 1) + T1
910 U(1,I + 1) = U1 * T(1,I + 1) = U1 * U2 * (1,I + 1) = U2
920 NEXT I
930 IF ( - 1) * S = - 1 GOTO 970
940 X(1,M) = X1 * T(1,M) + T1 * M - 1
950 U(1,M) = U1 * T(1,M) = U2 * U2 * (1,M) = 0
960 GOTO 980
970 X(1,0) = X1 * T(1,0) + T1 * 1
980 U(1,0) = U1 * T(1,0) = U2 * U2 * (1,0) = 0
990 FOR I = 0 TO M: V1 = 1: IF I > 20 THEN I = 20
995 XAV = INT (X(1,I) * 10000 + .5) / 10000: YAV = INT (Y(1,I) * 10000 + .5) / 10000
996 DA = INT (T(1,I) * 3.141516 * X(1,I) * 10000 + .5) / 10000
1000 VTAB IX = 4: PRINT XAV: VTAB IY = 4: YTAB IX = 4: YTAB IY = 4: PRINT YTAB IX = 4: YTAB IX = 4: YTAB IX = 4: YTAB IX = 4: YTAB IX = 4
1020 X(0,I) = X(1,I) * T(0,I) + T(1,I)
1030 U(0,I) = U(1,I) * U1 * (0,I) = U1 * U1 * U2 * (0,I) = U2 * (1,I)
1040 NEXT I

```

```
1045 PRA 0
1050 IF T(0,2) - 1) > TN GOTO 1070
1060 GOTO 240
1070 INPUT "¿DESEAS CONTINUAR? "Y/N
1080 IF AS = "S" GOTO 1060
1090 PRINT "FIN DEL CALCULO": STOP
```

6

CAPITULO VI

Utilizando los métodos numéricos previamente expuestos, a continuación se presenta la solución de los siguientes problemas:

- 1.- Cálculo de los perfiles radiales y axiales de conversión y temperatura en reactores catalíticos utilizando el modelo de transferencia efectiva.
- 2.- Cálculo de la distribución de temperatura en una placa metálica en la cual, se transfiere energía térmica en condiciones estables.

Chemical Engineering Kinetics.

J.M.Smith. 2nd Edition.

REACCION DE OXIDACION DE SO_2

Calcular el perfil de distribución de temperatura y conversión en un reactor catalítico tubular para la reacción de oxidación de SO_2 ; comparar los resultados obtenidos contra los datos experimentales reportados.

Condiciones experimentales.

La reacción se llevó a cabo en un reactor tubular empacado con granulos de catalizador de alúmina-platino (0.2% en peso). La temperatura del reactor fué controlada con una chaqueta externa, enriada con glicol a su temperatura de ebullición ($197^\circ C$); la presión de operación fué de 760 mm Hg.

diámetro del reactor	DR = 2.06	pulg.
diámetro granular	dp = 1/8	pulg.
densidad de empaque	db = 64	lb/ft ³

Mezcla gaseosa de alimentación.

% mol de SO_2	yo = 6.5	
% mol de aire seco	ya = 93.5	
masa velocidad	G = 350	lb/hrft ²

Propiedades físicas.

calor específico(aire)	cp = 0.25	Btu/lb°F
calor de reacción	DH = -22,700	cal/gmol
Peclet radial	Pe = 9.6	
Peso molecular(mezcla)	PM = 31.2	
Conductividad efectiva	ke = 0.216	Btu/hrft°F

Velocidad de reacción global (gmol/hr g cat.)

% de conversión de SO₂

T(°C)	0	10	20	30	40	50	60
197	0.0000	0.0000	0.0000	0.0000	0.0000	0.0000	0.0000
350	0.0110	0.0080	0.0049	0.0031			
360	0.0175	0.0121	0.0078	0.0047	0.0027	0.0018	
370	0.0325	0.0214	0.0143	0.0094	0.0060	0.0041	
400	0.0570	0.0355	0.0239	0.0163	0.0110	0.0074	0.0048
420	0.0830	0.0518	0.0344	0.0236	0.0163	0.0110	0.0074
440	0.1080	0.0752	0.0514	0.0351	0.0236	0.0159	0.0102
460	0.1460	0.1000	0.0674	0.0466	0.0319	0.0215	0.0138
480		0.1276	0.0898	0.0642	0.0440	0.0279	0.0189
500		0.1670	0.1220	0.0895	0.0632	0.0394	0.0263

R.W.Olson, R.W.Schuler, and J.M.Smith, Chem. Eng. Progr., 46, 614 (1950).

Los datos anteriores se correlacionaron en el siguiente modelo matemático, utilizando el método de mínimos cuadrados.

$$RP(X,T) = \exp(1.10E92364 - 0.0399791661X - 5317464.55T^{-2.35})$$

El modelo matemático que representa el comportamiento del reactor sin considerar dispersión axial es:

$$dp(X_r/r + X_{rr})/Pe + Rp \text{ db PM/G } y_o - X_z = 0 \quad \dots (1)$$

$$ke(T_r/r + T_{rr}) - Rp \text{ db DH} - G \text{ cp } T_z = 0 \quad \dots (2)$$

condiciones frontera.

$$X(r,0) = 0$$

$$\frac{T(r,0) = f(r); 0 \leq r \leq R}{}$$

$$X_r(0,z) = 0$$

$$X_r(R,z) = 0; \quad 0 \leq z \leq LL$$

$$T_r(0,z) = 0$$

$$T(R,z) = 197 \text{ } ^\circ\text{C}$$

Aplicando el método Crank-Nicolson, el sistema de EDP se transforma en el sistema lineal:

$$A1T_{i-1,j+1} + A2T_{i,j+1} + A3T_{i+1,j+1} = A4T_{i-1,j} + A5T_{i,j} + A6T_{i+1,j} -$$

$$C2(Rp_{i,j} + Rp_{i,j+1})$$

$$T_{0,j+1} - T_{1,j+1} = T_{0,j} - T_{1,j}$$

$$T_{N,j} = 197 \text{ } ^\circ\text{C}$$

para $i = 1, N-1$; $j = 0, M-1$

donde

$$A1 = 1/h^2 - 1/h^2 i$$

$$A2 = 1/h^2 - 2/h^2 + 2C1/k1$$

$$A3 = 1/h^2$$

$$A4 = -A3$$

$$A5 = 1/h^2 i + 2/h^2 + 2C1/k1$$

$$A6 = -1/h^2 i - 1/h^2$$

$$F1X_{i-1,j+1} + B2X_{i,j+1} + B3X_{i+1,j+1} = F4X_{i-1,j} + B5X_{i,j} + B6X_{i+1,j} -$$

$$D2(RP_{i,j} + RP_{i,j+1})$$

$$X_{0,j+1} - X_{1,j+1} = X_{0,j} - X_{1,j}$$

$$X_{N-1,j+1} - X_{N,j+1} = X_{N-1,j} - X_{N,j}$$

para $i = 1, N-1$; $j = 0, M-1$

donde

$$C1 = -G \text{ cp/ke}$$

$$D1 = -Pe/dp$$

$$C2 = -db \text{ DH/ke}$$

$k1$, h = tamaño de la partición

$$D2 = db \text{ Pe PM/dp G yo}$$

$$E1 = A1$$

$$E2 = 1/h^2 i - 2/h^2 + 2DJ/k1$$

$$E3 = A3$$

$$E4 = A4$$

$$E5 = 1/h^2 i + 2/h^2 + 2DJ/k1$$

$$E6 = A6$$

Para $j=0$ las ecuaciones de recurrencia anteriores se representan por el sistema matricial:

$$AT = A_0 T_0 + R_{p_1}(X, T) \quad . \quad . \quad . \quad (I)$$

$$BX = P_0 X_0 + R_{p_2}(X, T) \quad . \quad . \quad . \quad (II)$$

donde X_0, T_0 son datos frontera.

Selección de la partición y de los parámetros de convergencia.

Perfil radial de temperatura para una profundidad de lecho de $z=0.05$

N=5 ; M=100

e1=0.001 ; e2=0.1

e1=0.0001 ; e2=0.001

438.7

438.7

438.7

437.8

434.9

434.8

413.9

413.9

331.8

331.8

197.0

197.0

N=10 ; e1=0.001 ; e2=0.1

M=100

M=1000

M=2000

439.3

440.4

440.3

439.3

440.4

440.3

439.0

440.2

440.1

438.2

439.6

439.3

436.3

437.5

436.6

431.6

431.7

429.4

419.8

417.6

412.3

393.0

388.5

379.4

351.0

339.5

328.0

253.9

272.9

265.0

197.0

197.0

197.0

M=100 ; e1=0.001 ; e2=0.1

N=10	N=20
439.3	439.3
439.3	439.3
439.0	439.3
438.2	439.1
436.3	438.9
431.6	438.6
419.8	438.0
393.0	437.2
351.0	435.9
253.9	433.8
197.0	430.5
	425.2
	416.9
	403.8
	384.0
	352.4
	324.3
	262.9
	283.8
	257.2
	197.0

Utilizando los resultados anteriores, se proponen los siguientes parámetros: CON FINES DEMOSTRATIVOS

M=200 ; N=10 ; e1=0.001 ; e2=0.1

RESULTADOS.

OXIDACION DE SO_2

- 1.0 El modelo matemático representa con buena aproximación el comportamiento del reactor, esto se puede apreciar en las tendencias presentadas en las gráficas I y II.
- 2.0 La conversión promedio máxima calculada fué de 32.2% y se alcanzó a una profundidad de lecho de 0.45 ft. (gráfica II).
- 3.0 Se obtuvo una temperatura máxima de 492.0°C en el centro del reactor y a una profundidad de lecho de 0.20 ft.
- 4.0 Un aumento del 7% en la conductividad efectiva, produce una disminución hasta de 4°C en las cercanías de la pared del reactor. (Ver tabla II)
- 5.0 Una variación del 4% en la capacidad calorífica, produce cambios de 1°C en el corazón del reactor. (ver tabla II)
- 6.0 El número de Peclet radial (masa), no manifiesta cambios apreciables en los perfiles de conversión. (ver tabla II)
- 7.0 La temperatura de la mezcla reaccionante en la entrada del reactor, es determinante en los perfiles de conversión y temperatura. (ver tabla II)

T A B L A I

$z(\text{ft})$	0.05		0.10		0.15	
r/r_0	x	t	x	t	x	t
0.0	0.2240	442.1	0.4134	474.8	0.5474	491.1
0.1	0.2240	442.1	0.4134	474.8	0.5474	491.1
0.2	0.2233	441.6	0.4085	471.9	0.5359	484.9
0.3	0.2211	440.1	0.3972	465.7	0.5118	472.9
0.4	0.2152	436.4	0.3744	454.0	0.4689	453.6
0.5	0.2008	428.5	0.3322	434.0	0.4003	425.4
0.6	0.1725	412.6	0.2632	402.8	0.3049	388.0
0.7	0.1242	382.9	0.1725	359.0	0.1988	343.1
0.8	0.0644	332.4	0.0890	308.2	0.1128	294.3
0.9	0.0225	268.5	0.0412	252.5	0.0625	244.7
1.0	0.0055	197.0	0.0241	197.0	0.0454	197.0

$z(\text{ft})$	0.20		0.25		0.30	
r/r_0	x	t	x	t	x	t
0.0	0.6337	494.2	0.6848	483.2	0.7107	468.5
0.1	0.6337	494.2	0.6848	483.2	0.7107	468.5
0.2	0.6155	483.6	0.6609	473.5	0.6825	458.4
0.3	0.5792	467.7	0.6151	455.8	0.6301	440.4
0.4	0.5199	444.1	0.5445	430.5	0.5529	415.1
0.5	0.4339	412.4	0.4491	398.1	0.4541	383.6
0.6	0.3265	373.6	0.3386	360.1	0.3455	347.5
0.7	0.2179	329.9	0.2332	318.8	0.2458	309.0
0.8	0.1338	284.5	0.1530	276.8	0.1703	270.2
0.9	0.0841	239.6	0.1049	235.7	0.1243	232.5
1.0	0.0670	197.0	0.0878	197.0	0.1073	197.0

$z(\text{ft})$	0.35		0.40	
r/r_0	x	t	x	t
0.0	0.7185	450.9	0.7134	432.1
0.1	0.7185	450.9	0.7134	432.1
0.2	0.6876	441.0	0.6809	422.6
0.3	0.6312	423.4	0.6230	406.0
0.4	0.5511	399.1	0.5430	383.2
0.5	0.4530	369.3	0.4463	355.5
0.6	0.3423	335.6	0.3511	324.4
0.7	0.2563	300.1	0.2651	291.8
0.8	0.1858	264.3	0.1997	256.9
0.9	0.1422	229.6	0.1585	227.0
1.0	0.1252	197.0	0.1414	197.0

T A B I A I I

r/ro	<u>cp=0.25</u>		<u>cp=0.26</u>		para z=0.025 ft
	x	t	x	t	
0.0	0.1132	421.4	0.1123	420.4	
0.1	0.1132	421.4	0.1123	420.4	
0.2	0.1131	421.3	0.1122	420.3	
0.3	0.1127	421.0	0.1126	420.9	
0.4	0.1114	419.9	0.1111	419.7	
0.5	0.1070	416.1	0.1065	415.6	
0.6	0.0947	408.5	0.0939	407.6	
0.7	0.0748	391.7	0.0736	390.0	
0.8	0.0432	358.4	0.0421	355.6	
0.9	0.0171	283.4	0.0168	279.2	
1.0	0.0000	197.0	0.0000	197.0	

r/ro	<u>ke=0.216</u>		<u>ke=0.230</u>		para z=0.025 ft
	x	t	x	t	
0.0	0.1132	421.4	0.1132	421.4	
0.1	0.1132	421.4	0.1132	421.4	
0.2	0.1131	421.3	0.1131	421.3	
0.3	0.1127	421.0	0.1126	420.9	
0.4	0.1114	419.9	0.1111	419.7	
0.5	0.1070	416.1	0.1065	415.6	
0.6	0.0947	408.5	0.0939	407.6	
0.7	0.0748	391.7	0.0736	390.0	
0.8	0.0432	358.4	0.0421	355.6	
0.9	0.0171	283.4	0.0168	279.2	
1.0	0.0000	197.0	0.0000	197.0	

r/r ₀	Pe=9.60		Pe=10.00		para z=0.025 ft
	x	t	x	t	
0.0	0.1132	421.4	0.1132	421.4	
0.1	0.1132	421.4	0.1132	421.4	
0.2	0.1131	421.3	0.1131	421.3	
0.3	0.1127	421.0	0.1127	421.0	
0.4	0.1114	419.9	0.1114	419.9	
0.5	0.1070	416.1	0.1071	416.1	
0.6	0.0947	408.5	0.0949	408.5	
0.7	0.0748	391.7	0.0749	391.7	
0.8	0.0432	358.4	0.0432	358.4	
0.9	0.0171	283.4	0.0169	283.4	
1.0	0.0000	197.0	0.0000	197.0	

TABLA II (cont.)

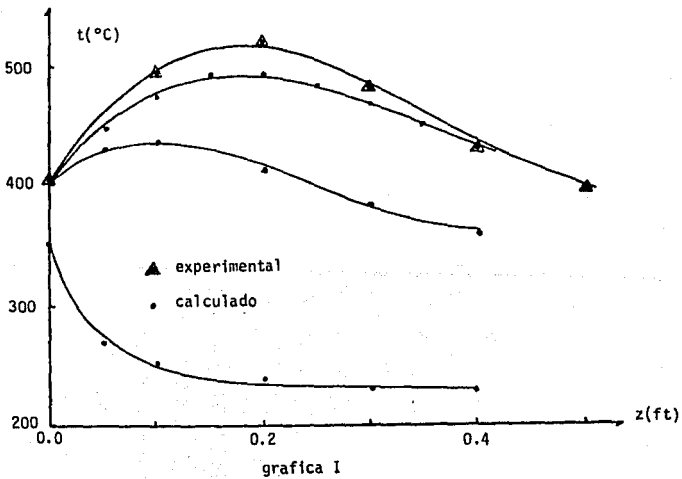
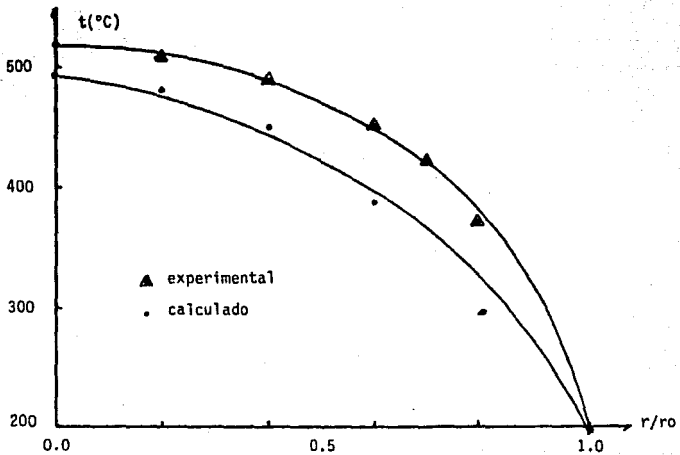
r/ro	Perfil térmico I1		Perfil térmico I2		para z=0.025 ft
	x	t	x	t	
0.0	0.1132	421.4	0.1133	421.4	
0.1	0.1132	421.4	0.1133	421.4	
0.2	0.1131	421.3	0.1133	421.4	
0.3	0.1127	421.0	0.1132	421.4	
0.4	0.1070	416.1	0.1124	421.2	
0.5	0.1070	416.1	0.1124	420.7	
0.6	0.0947	408.5	0.1102	418.9	
0.7	0.0745	391.7	0.1032	412.5	
0.8	0.0432	358.4	0.0850	389.1	
0.9	0.0171	283.4	0.0611	303.6	
1.0	0.0000	197.0	0.0000	197.0	

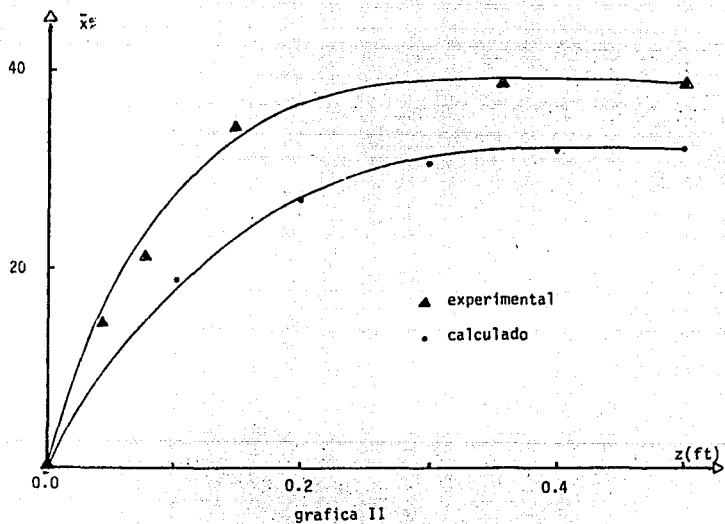
donde los perfiles térmicos en z=0 son:

r/ro	I1	I2
0.0	400	400
0.1	400	400
0.2	400	400
0.3	400	400
0.4	400	400
0.5	400	400
0.6	395	400
0.7	390	400
0.8	375	400
0.9	350	400
1.0	197	197

T A B L A III

z(ft)	x % conversión promedio
0.025	6.02
0.050	11.75
0.100	19.22
0.150	23.98
0.200	27.09
0.250	29.20
0.300	30.63
0.350	31.59
0.400	32.21





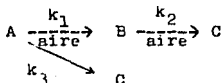
Aplicación del método Crank-Nicolson para resolver el problema expuesto por G.F.Froment en el artículo

"Fixed Bed Catalytic Reactors"

Ind.Eng.Chem.Vol.59 No.2 Feb. 1967

Diseño de reactores catalíticos de lecho fijo basado en modelos de transporte efectivo.

La reacción de oxidación de o-xileno para producir anhídrido ftálico, se lleva a cabo en fase gaseosa usando V_2O_5 como catalizador, la estequiometría de la reacción es:



A = o-xileno

F = anhídrido ftálico

C = bióxido y monóxido de carbono

Características de la reacción. El o-xileno es explosivo y la reacción es exotérmica.

Para poder tener control térmico sobre la reacción, se usa un reactor multitubular empacado con catalizador y enfriado por una salmuera que transfiere el calor de reacción a un generador de vapor. Se usa un exceso de aire de tal forma que la concentración de o-xileno se mantenga debajo de su límite de explosividad (1%).

La temperatura de la salmuera se mantiene constante a una temperatura $T_0 = 375^\circ\text{C}$, la transferencia de calor se manifiesta a través de la tubería y el mecanismo es utilizado como una restricción en la frontera.

Datos característicos del sistema

Reactor

Diámetro de los tubos	$d_t = 0.025 \text{ m}$
Número de tubos	$N_t = 2500$
Longitud del reactor	$LL = 2 \text{ a } 3 \text{ m}$

Propiedades físicas

Fracción mol inicial de o-xileno	$N_{Ao} = 0.00924$
Fracción mol inicial de aire	$N_o = 0.208$
Calor de reacción (1)	$H_1 = -307 \text{ Kcal/gmol}$
Calor de combustión (3)	$H_3 = -1090 \text{ Kcal/gmol}$
Diámetro de los granulos de catalizador	$d_p = 0.003 \text{ m}$
Densidad de empaque del catalizador	$d_b = 1300 \text{ Kg/m}^3$
Masa velocidad	$G = 4684 \text{ Kg/m}^2\text{hr}$
No. Peclet mass radial	$Pe_{mr} = 10$
No. Peclet térmico radial	$Pe_{hr} = 5.25$
Peso molecular promedio	$P_w = 29.48$
Coefficiente de transferencia de calor	$aw = 134 \text{ Kcal/m}^2\text{hr}^\circ\text{C}$
Capacidad calorífica	$cp = 0.25 \text{ Kcal/Kg}^\circ\text{C}$
Difusividad térmica	$Lr = 0.67 \text{ Kcal/mhr}^\circ\text{C}$

Cinética de la reacción. Debido al exceso de aire, la cinética se puede considerar como de pseudo primer orden.

$$R_A = k_1 C_A C_{\text{aire}} + k_3 C_A C_{\text{aire}}$$

$$R_B = k_1 C_A C_{\text{aire}} - k_2 C_B C_{\text{aire}}$$

$$R_C = k_2 C_B C_{\text{aire}} + k_3 C_A C_{\text{aire}}$$

$$C_0 = C_{\text{aire}}$$

$$C_A = C_{A_0}(1-X-W)$$

$$C_B = C_{A_0} X$$

$$R_A = (k_1+k_3)C_{A_0}C_0(1-X-W)$$

$$R_B = C_{A_0} C_0(k_1(1-X-W)-k_2 X)$$

$$R_C = C_{A_0} C_0(k_2 X + k_3(1-X-W))$$

$$\ln k_1 = -22700/1.98(T+T_0) + 19.837$$

$$\ln k_2 = -31400/1.98(T+T_0) + 20.86$$

$$\ln k_3 = -28600/1.98(T+T_0) + 18.97$$

Sin tomar en cuenta la difusión axial, el comportamiento del reactor puede ser representado por el sistema de EDP:

$$X_z = a_1(X_{rr} + X_r/r) + b_1 R_B \quad (I)$$

$$W_z = a_1(W_{rr} + W_r/r) + b_1 R_C \quad (II)$$

$$T_z = a_2(T_{rr} + T_r/r) + b_2 R_B + b_3 R_C \quad (III)$$

donde $z = z/dp$; $r = r/dp$; $T = T - T_0$; $R = R/dp$

$a_1 = 1/Pehr$; $a_2 = 1/Pemr$

$b_1 = db dp \overline{PM}/G NAO$; $b_2 = db dp(-H1)/G cp$;

$b_3 = db dp(-H3)/G cp$

condiciones frontera

$$X(r,0) = 0 ; W(r,0) = 0 ; 0 \leq r \leq R$$

$$X_r(0,z) = 0 ; W_r(0,z) = 0 ; 0 \leq z \leq LL$$

$$T(R,z) = 0 ; 0 \leq z \leq LL$$

$$T_r(0,z) = 0 ; T_r(R,z) = -aw dp T/Lr ; 0 \leq z \leq LL$$

al aplicar el método de diferencias finitas Crank-Nicolson a las EDP y sus condiciones frontera se tiene:

$$C1T_{i-1,j+1} + C2T_{i,j+1} + C3T_{i+1,j+1} = C4T_{i-1,j} + C5T_{i,j} + C6T_{i+1,j} - b2R\overline{F}/a2 - b3R\overline{G}/a2$$

$$T_{0,j+1} - T_{1,j+1} = T_{0,j} - T_{1,j}$$

$$T_{N-1,j} - T_{N,j} = T_{N-1,j+1} - T_{N,j+1} (1 + aw dp/Lr)$$

donde $i = 1, \dots, N-1$; $j = 1, \dots, M-1$

$$\begin{aligned}
\bar{R}B &= (RB_{i,j} + RB_{i,j+1})/2 \\
C1 &= 1/2h^2 - 1/2h^2i \\
C2 &= 1/2h^2i - 1/a^2 k - 1/h^2 \\
C3 &= 1/h^2 \\
C4 &= -C3 \\
C5 &= -1/a^2 k + 1/2h^2i + 1/h^2 \\
C6 &= -1/2h^2 - 1/2h^2i
\end{aligned}$$

para $i = 1, \dots, N-1$ y algun valor de j , las ecuaciones anteriores generan el sistema lineal siguiente:

$$DI T_{j+1} = B1 T_j + RB(X,W,T) + RC(X,W,T)$$

para la variable conversión "X" y "W" se tiene

$$\begin{aligned}
A1X_{i-1,j+1} + A2X_{i,j+1} + A3X_{i+1,j+1} &= A4X_{i-1,j} + A5X_{i,j} + A6X_{i+1,j} - b1RF/a1 \\
X_{0,j+1} - X_{1,j+1} &= X_{0,j} - X_{1,j}
\end{aligned}$$

donde $i = 1, \dots, N-1$; $j = 1, \dots, M-1$

$$\begin{aligned}
\bar{R}B &= (RB_{i,j} + RB_{i,j+1})/2 \\
A1 &= 1/2h^2 - 1/2h^2i \\
A2 &= 1/2h^2i - 1/a1 k - 1/h^2
\end{aligned}$$

$$A3 = 1/2h^2$$

$$A4 = -A3$$

$$A5 = -1/ai k + 1/2h^2 i + 1/h^2$$

$$A6 = -1/2h^2 - 1/2h^2 i$$

para $i = 1, \dots, N-1$ y algun valor de j_n las ecuaciones anteriores generan $N+1$ incógnitas de la variable "X" y $(N-1)+1$ ecuaciones linealmente independientes por lo tanto, es necesario poner una restricción adicional para que tenga solución el sistema. En base al comportamiento típico de los reactores, se propone $X_r(R, z) = 0$; $0 \leq z \leq LL$ (REF.2). En diferencias finitas la restricción anterior será:

$$X_{N-1, j+1} - X_{N, j+1} = X_{N-1, j} - X_{N, j}$$

El sistema lineal asociado para la variable conversión es:

$$D2 X_{j+1} = B2 X_j + RB1(X, W, T)$$

$$D3 W_{j+1} = B3 W_j + RCL(X, W, T)$$

Selección del tamaño de la partición N,M y de los errores de convergencia.

Pba. #1 $z = 0.02$, $M = 100$, $E1 = 0.001$, $E2 = 0.01$

perfiles radiales de temperatura

N=5	N=10	N=15	N=20
3.153	3.166	3.168	3.168
3.153	3.166	3.168	3.168
3.098	3.156	3.164	3.166
2.959	3.139	3.157	3.162
2.613	3.109	3.146	3.157
1.742	3.063	3.132	3.150
	2.989	3.112	3.140
	2.871	3.084	3.128
	2.683	3.047	3.113
	2.385	2.996	3.094
	1.908	2.927	3.069
		2.833	3.038
		2.704	3.000
		2.529	2.951
		2.290	2.889
		1.963	2.812
			2.714
			2.591
			2.435

P R U E B A # 2

$z = 0.02$, $N = 10$, $E1 = 0.001$, $E2 = 0.01$

perfiles radiales de temperatura

M = 100	M = 200	M = 500
3.166	3.183	3.183
3.166	3.183	3.183
3.156	3.175	3.175
3.139	3.159	3.158
3.109	3.128	3.127
3.063	3.075	3.073
2.989	2.987	2.984
2.871	2.846	2.842
2.683	2.628	2.623
2.395	2.304	2.301
1.908	1.843	1.840

PRUEBA # 3

$z = 0.002$, $N = 10$, $E1 = 0.001$, $E2 = 0.01$

perfiles radiales de temperatura

$M = 1000$

$M = 2000$

$M = 4000$

0.305

0.305

0.305

0.305

0.305

0.305

0.305

0.305

0.305

0.305

0.305

0.305

0.305

0.305

0.305

0.305

0.305

0.305

0.305

0.305

0.305

0.305

0.305

0.305

0.301

0.302

0.302

0.288

0.287

0.287

0.231

0.230

0.229

P R U E B A # 4

$z = 0.002$, $N = 10$, $M = 500$

perfiles radiales de temperatura

$E1 = 0.001$; $E2 = 0.01$

$E1 = 0.0001$; $E2 = 0.001$

0.305

0.305

0.305

0.305

0.305

0.305

0.305

0.305

0.305

0.305

0.305

0.305

0.304

0.304

0.288

0.288

0.231

0.231

Resultados. La Pba#4 muestra que es adecuado el valor del error de convergencia $E1 = 0.001$; $E2 = 0.01$

La Pba#1 muestra que para fines demostrativos es posible utilizar $N = 10$ (tiempo de maquina)

la Pba#2 muestra que se deberá seleccionar $M=200$, ésta variable tiene gran influencia sobre los resultados.

Debido al consumo de tiempo máquina se propone utilizar con fines demostrativos los parámetros:

$N=10$; $M=200$; $E1=0.001$; $E2=0.01$

RESULTADOS.

OXIDACION DE O-XILENO

1.0 Los resultados obtenidos fueron comparados contra los pre sentados en la referencia R.3 (ver gráficas III, IV, V) y se considera que son semejantes por lo tanto, las conclusiones presentadas en dicho artículo son aplicables al presente problema.

T A B L A I V

z(m)		0.02			0.04	
r/ro	Xx10 ³	Wx10 ⁴	T	X	Wx10 ³	T
0.0	6.0000	7.0000	3.18	0.0125	1.5000	6.45
0.1	6.0000	7.0000	3.18	0.0125	1.5000	6.45
0.2	6.0000	7.0000	3.17	0.0125	1.5000	6.40
0.3	6.0000	7.0000	3.15	0.0125	1.5000	6.30
0.4	5.9000	7.0000	3.12	0.0125	1.5000	6.16
0.5	5.9000	7.0000	3.07	0.0124	1.5000	5.94
0.6	5.9000	7.0000	2.99	0.0124	1.5000	5.65
0.7	5.9000	7.0000	2.84	0.0123	1.5000	5.26
0.8	5.9000	7.0000	2.63	0.0123	1.4000	4.74
0.9	5.9000	7.0000	2.30	0.0122	1.4000	4.09
1.0	5.9000	7.0000	1.84	0.0122	1.4000	3.27

z(m)		0.076			0.152	
r/ro	X	Wx10 ³	T	X	Wx10 ³	T
0.0	0.0258	3.1000	11.84	0.0525	7.0000	20.98
0.1	0.0258	3.1000	11.84	0.0528	7.2000	20.98
0.2	0.0255	3.1000	11.69	0.0526	7.1000	20.64
0.3	0.0257	3.1000	11.41	0.0522	7.1000	20.02
0.4	0.0255	3.0000	11.01	0.0577	7.0000	19.15
0.5	0.0254	3.0000	10.47	0.0572	7.0000	18.03
0.6	0.0252	3.0000	9.79	0.0566	6.9000	16.66
0.7	0.0250	3.0000	8.96	0.0560	6.8000	15.07
0.8	0.0248	2.9000	7.96	0.0556	6.7000	13.24
0.9	0.0247	2.9000	6.79	0.0553	6.7000	11.21
1.0	0.0247	2.9000	5.43	0.0553	6.7000	8.97

z(m)		0.018		0.224		
r/ro	X	Wx10 ³	T	X	W	
0.0	0.0722	8.9000	23.75	0.0944	0.0118	27.59
0.1	0.0722	8.9000	23.75	0.0944	0.0118	27.59
0.2	0.0719	8.9000	23.35	0.0940	0.0118	27.10
0.3	0.0715	8.8000	22.63	0.0934	0.0117	26.23
0.4	0.0709	8.7000	21.61	0.0926	0.0116	25.00
0.5	0.0702	8.6000	20.30	0.0917	0.0114	23.44
0.6	0.0694	8.5000	18.73	0.0907	0.0113	21.57
0.7	0.0687	8.4000	16.90	0.0898	0.0112	19.41
0.8	0.0681	8.3000	14.82	0.0891	0.0111	16.99
0.9	0.0678	8.3000	12.53	0.0886	0.0110	14.33
1.0	0.0678	8.3000	10.02	0.0886	0.0110	11.47

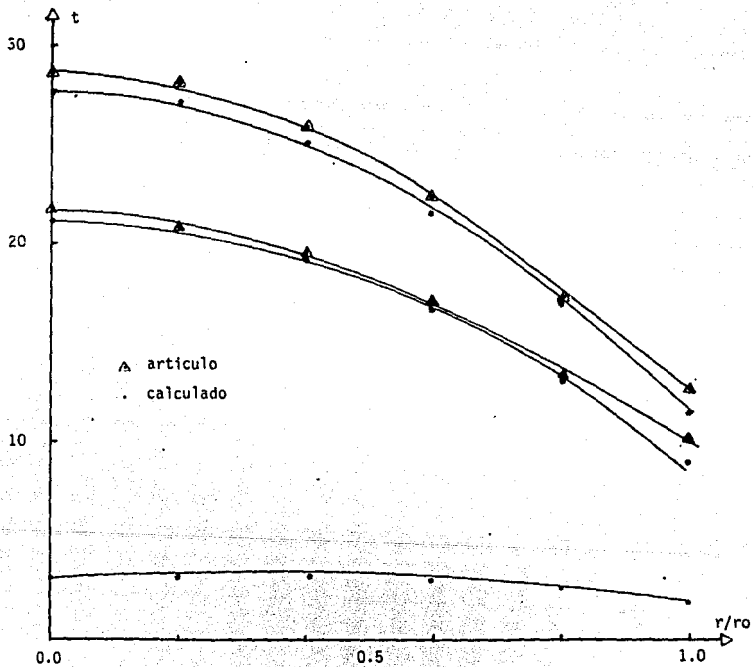
T A B L A V

r/ro	cp=0.025			cp=0.26		
	Xx10 ³	Wx10 ⁴	T	Xx10 ³	Wx10 ³	T
0.0	4.7000	6.0000	2.53	4.7000	6.0000	2.43
0.1	4.7000	6.0000	2.53	4.7000	6.0000	2.43
0.2	4.7000	6.0000	2.52	4.7000	6.0000	2.42
0.3	4.7000	6.0000	2.52	4.7000	6.0000	2.41
0.4	4.7000	6.0000	2.50	4.7000	6.0000	2.40
0.5	4.7000	6.0000	2.47	4.7000	6.0000	2.37
0.6	4.7000	6.0000	2.41	4.7000	6.0000	2.32
0.7	4.7000	5.0000	2.32	4.7000	5.0000	2.22
0.8	4.7000	5.0000	2.16	4.7000	5.0000	2.07
0.9	4.7000	5.0000	1.90	4.7000	5.0000	1.83
1.0	4.7000	5.0000	1.52	4.7000	5.0000	1.46

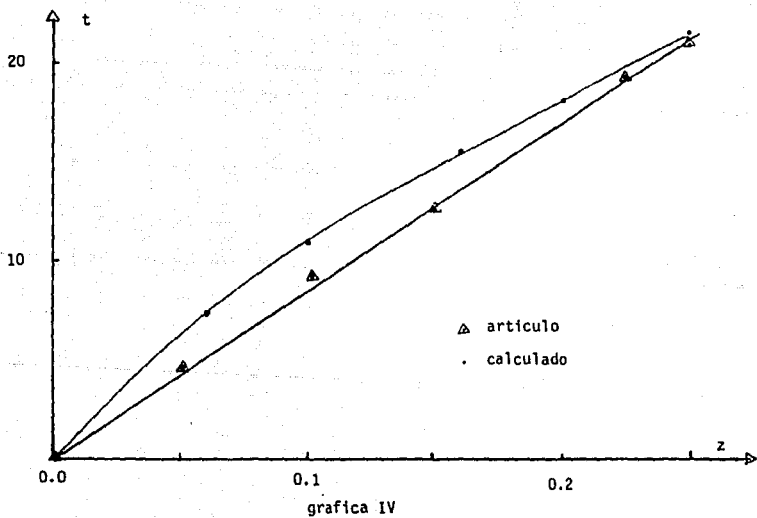
r/ro	Phr=5.25			Phr=5.80		
	Xx10 ³	Wx10 ⁴	T	Xx10 ³	Wx10 ⁴	T
0.0	2.3000	3.0000	1.24	2.3000	3.0000	1.24
0.1	2.3000	3.0000	1.24	2.3000	3.0000	1.24
0.2	2.3000	3.0000	1.239	2.3000	3.0000	1.24
0.3	2.3000	3.0000	1.239	2.3000	3.0000	1.239
0.4	2.3000	3.0000	1.237	2.3000	3.0000	1.238
0.5	2.3000	3.0000	1.233	2.3000	3.0000	1.235
0.6	2.3000	3.0000	1.224	2.3000	3.0000	1.227
0.7	2.3000	3.0000	1.201	2.3000	3.0000	1.207
0.8	2.3000	3.0000	1.149	2.3000	3.0000	1.158
0.9	2.3000	3.0000	1.038	2.3000	3.0000	1.050
1.0	2.3000	3.0000	0.830	2.3000	3.0000	0.840

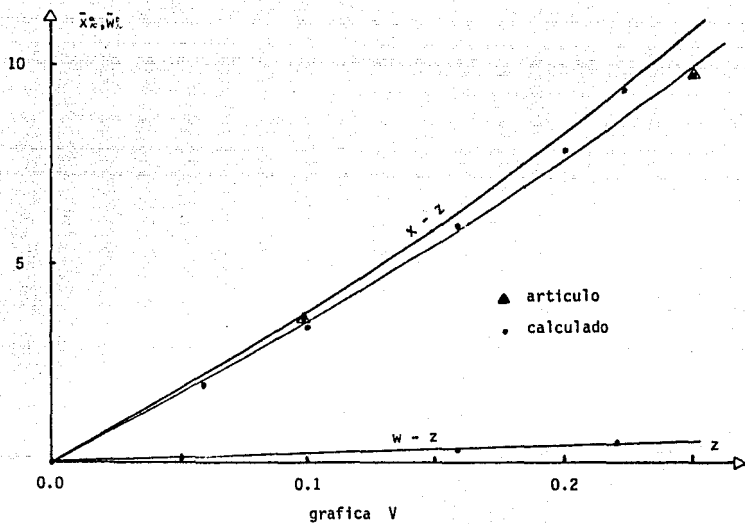
T A B L A V I

$z(m)$	\bar{X}	\bar{W}	\bar{T}
0.004	0.0011	0.0001	0.58
0.020	0.0059	0.0007	2.72
0.040	0.0123	0.0015	5.11
0.060	0.0192	0.0023	7.25
0.080	0.0266	0.0032	9.19
0.100	0.0344	0.0042	10.98
0.120	0.0425	0.0052	12.61
0.140	0.0599	0.0063	14.13
0.160	0.0691	0.0074	15.53
0.180	0.0691	0.0086	16.83
0.200	0.0786	0.0099	18.04
0.224	0.0935	0.0114	19.38



grafica III





Análisis Numérico

Richard L. Burden

J. Douglas Faires

Tercera Edición

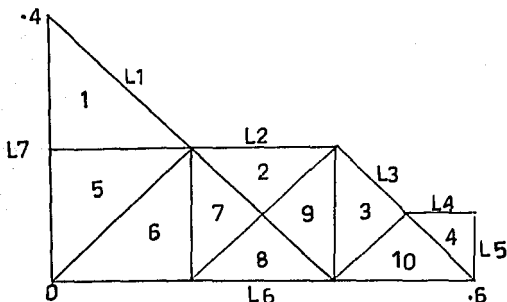
Utilizando el Método del Elemento Finito, obtener la distribución de temperatura $U(x,y)$ en una región D donde se manifiesta una transferencia de calor en régimen permanente. En estas condiciones la temperatura satisface la ecuación de Laplace

$$U_{xx}(x,y) + U_{yy}(x,y) = 0 \quad \text{en } D$$

las restricciones en la frontera son:

$$\begin{aligned} U(x,y) &= 4 && \text{para } (x,y) \text{ en } L_6 \text{ y } (x,y) \text{ en } L_7 \\ U_n(x,y) &= x && \text{para } (x,y) \text{ en } L_2 \text{ y } (x,y) \text{ en } L_4 \\ U_n(x,y) &= y && \text{para } (x,y) \text{ en } L_5 \\ U_n(x,y) &= (x+y)/2 && \text{para } (x,y) \text{ en } L_1 \text{ y } (x,y) \text{ en } L_3 \end{aligned}$$

donde $U_n(x,y)$ es la derivada direccional en la dirección normal de la frontera de la región D .



DISTRIBUCION TERMICA EN UNA REGION "D"

RESULTADOS.

- 1.0 La solución presentada es semianalítica y consiste de la unión de planos cuyo dominio es un conjunto de elementos triangulares.

- 2.0 El máximo error relativo comparado contra la solución real fué, 0.15%

TABLA VII SOLUCION DE LA EDP ELIPTICA

$U(x,y) = A + E x + C y$ para (x,y) en el triángulo "k"

A	B	C	k
4.00000	0.18861	0.00000	1
3.93733	0.20889	0.29306	2
3.95944	0.10139	0.39750	3
3.95467	0.07556	0.57444	4
4.00000	0.18861	0.00000	5
4.00000	0.00000	0.18861	6
3.97911	0.10444	0.18861	7
4.00000	0.00000	0.29306	8
3.95822	0.01044	0.39750	9
4.00000	0.00000	0.49889	10

TABLA VIII

x	y	Tk	U	U'	U-U'
0.1	0.25	1	4.0168	4.0250	0.0062
0.1	0.05	2	4.0094	4.0050	0.0044
0.1	0.15	5	4.0188	4.0150	0.0038
0.3	0.05	8	4.0146	4.0150	0.0004
0.3	0.15	2	4.0439	4.0450	0.0011
0.5	0.05	10	4.0249	4.0250	0.0001
0.05	0.10	5	4.0094	4.0050	0.0044
0.35	0.10	9	4.0345	4.0350	0.0005

donde $U' = xy + 4$ es la solución real

CAPITULO VII

La exactitud de los resultados calculados depende básicamente del tamaño de la partición, de las características del sistema de ecuaciones equivalente a la EDP, del método numérico utilizado para resolver dicho sistema y de la precisión de la computadora.

Aun cuando se calcule con exactitud la solución numérica de la EDP, puede no representar adecuadamente el comportamiento real del sistema físico en estudio (ver oxidación de SO_2) por lo tanto, es necesario ajustar la solución numérica con observaciones experimentales.

La computadora utilizada para desarrollar los métodos numéricos está limitada en capacidad, velocidad y precisión por lo que no fue posible hacer un análisis completo de convergencia y estabilidad del método numérico, sin embargo, la selección del tamaño de partición y de los factores de convergencia fue adecuada para obtener resultados con buena aproximación a los reportados en la literatura.

Recomendaciones para la selección y programación de los métodos numéricos.

1.0 Clasificar la ecuación diferencial según la regla del discriminante en:

Hiperbólica

Parabólica

Elíptica

2.0 Seleccionar el método numérico de acuerdo al tipo de ecuación:

METODO	ECUACION DIFERENCIAL
Diferencias Finitas	Hiperbólica, Parabólica, Elíptica.
Elemento Finito	Elíptica
Curvas Características	Hiperbólica

3.0 Método de Diferencias Finitas

3.1 Aproximar las derivadas parciales por cocientes de diferencias finitas cuyo orden de convergencia sea $O(h^n)$ para $n \geq 2$.

3.2 Verificar que el número de variables dependientes sea igual al número de ecuaciones linealmente independientes disponibles.

3.3 Ordenar cuando sea posible la matriz principal de tal forma que sea estrictamente dominante diagonalmente (apendice A)

- 3.4 Seleccionar el tamaño de la partición usando los criterios de convergencia, estabilidad y capacidad de la computadora
 - 3.5 Resolver el sistema lineal utilizando alguno de los métodos presentados en el apéndice A.
 - 3.6 Hacer pruebas de respuesta del programa al cambio de las propiedades fisicoquímicas del sistema y evaluar si es normal dicha respuesta.
-
- 4.0 Método del Elemento Finito
 - 4.1 Obtener la integral asociada a la ecuación diferencial y restricciones en la frontera.
 - 4.2 Seleccionar el número de triángulos en base a la capacidad de la computadora; el tamaño de la matriz principal es $(E+1)(E+1)$ donde E es el número de nodos desconocidos.
 - 4.3 Acomodar los triángulos frontera de tal forma que sus lados (dos máx.) sean colineales con la frontera.
 - 4.4 Controlar el tipo de triángulos, en el programa expuesto sólo se permiten cuatro posibilidades.
 - 4.5 Calcular las integrales dobles de funciones lineales, utilizando el método del trapecio; si la función a integrar es no lineal se puede usar el método de Simphson u otro más eficiente.
 - 4.6 Acomodar la ecuación principal cuando sea posible de tal forma que, sea estrictamente dominante diagonalmente.
 - 4.7 Resolver el sistema lineal utilizando el Método SOR.
 - 4.8 Hacer pruebas de respuesta (ver Diferencias Finitas).

APENDICE A

Aspectos importantes de las técnicas iterativas para la resolución de sistemas lineales.

Definición. Una matriz A de $n \times m$ es un arreglo rectangular de elementos a_{ij} con n renglones y m columnas.

Definición. Una matriz triangular superior U de $n \times n$ tiene para cada j , los elementos

$$u_{ij} = 0 \quad \text{para cada } i=j+1, j+2, \dots, n$$

Definición. Una matriz triangular inferior L de $n \times n$ tiene para cada j , los elementos

$$l_{ij} = 0 \quad \text{para cada } i=1, 2, \dots, j-1$$

Definición. Una matriz diagonal D de $n \times n$ tiene para cada i , los elementos

$$d_{ij} = 0 \quad \text{para } i \neq j$$

Definición. Una matriz A de $n \times n$ es estrictamente dominante diagonalmente siempre que:

$$\|a_{ii}\| > \sum_{\substack{j=1 \\ j \neq i}}^n \|a_{ij}\|$$

Definición. La transpuesta de una matriz A de $n \times m$ denotada A^t , es una matriz de $n \times m$ cuyos elementos son:

$$a_{ij}^t = a_{ji}$$

Definición. Una matriz A de $n \times n$ se llama positiva definida si

$$x^t A x > 0 \quad \text{para todo vector } x \neq 0$$

Definición. Una norma matricial en el conjunto de todas las matrices reales de $n \times n$ es una función de valores reales $\| \cdot \|$, definida en este conjunto que satisface, para todas las matrices A y B de $n \times n$ y todo número real k:

- 1.- $\|A\| \geq 0$,
- 2.- $\|A\| = 0$ si y sólo si $A = 0$
- 3.- $\|kA\| = |k| \|A\|$,
- 4.- $\|A + B\| \leq \|A\| + \|B\|$
- 5.- $\|AB\| \leq \|A\| \|B\|$

TEOREMA. Si $\| \cdot \|$ es cualquier norma vectorial en \mathbb{R}^n , entonces:

$$\|A\| = \max_{\|x\|=1} \|Ax\|$$

define una norma matricial en el conjunto de las matrices reales de $n \times n$, la cual se llama norma natural.

En general las técnicas iterativas transforman el sistema lineal $Ax = b$ en una sucesión definida por

$$x^{k+1} = T x^k + c \quad \dots (1)$$

Teorema. Para cualquier x^0 en \mathbb{R}^n , la sucesión definida por (1) converge a la solución única

$$x = T x + c \quad \text{si y solo si } \|T\| < 1$$

Método

sistema lineal equivalente

Gauss - Seidel

$$x^{k+1} = (D-L)^{-1}U x^k + (D-L)^{-1}b$$

Jacobi

$$x^{k+1} = D^{-1}(L+U) x^k + D^{-1}b$$

S O R

$$x^{k+1} = (D-wL)^{-1}((1-w)D + wU) x^k + w(D-wL)^{-1}b$$

donde w es un real positivo

Teorema. Si la matriz A es estrictamente dominante diagonalmente entonces para cualquier valor de x^0 , el Método de Jacobi y Gauss - Siedel convergen. La razón de convergencia depende de $\|T\|$ y por lo tanto el método que converge más rápidamente es aquel en el cual $\|T\|$ sea mínimo.

Teorema. Si $a_{ii} \neq 0$ para cada $i=1, n$ entonces, el método SOR converge a la solución de $Ax = b$ si y solo si $0 < w < 2$

Teorema. Si A es positiva definida y $0 < w < 2$ entonces el método SOR converge para cualquier elección de x^0 .

TABLA DE TRANSFORMADAS

$\bar{f}(p)$		$f(t)$
$1/(p^2 + 1)(1 - \exp(-p))$		sen t cuando $(2n-2)\pi < t < (2n-1)\pi$ 0 cuando $(2n-1)\pi < t < 2n\pi$
$\exp(-k/p)/p$		$J_0(2 \text{ SQR}(kt))$
$\exp(-k/p)/\text{SQR}(p)$		$\cos(2 \text{ SQR}(kt))/\text{SQR}(\pi t)$
$\exp(k/p)/\text{SQR}(p)$		$\cosh(2 \text{ SQR}(kt))/\text{SQR}(\pi t)$
$\exp(-k/p)/p^{3/2}$		$\text{sen}(2 \text{ SQR}(kt))/\text{SQR}(\pi k)$
$\exp(k/p)/p^{3/2}$		$\text{senh}(2 \text{ SQR}(kt))/\text{SQR}(\pi k)$
$\exp(-k/p)/p^j$	$j > 0$	$(t/k)^{(j-1)/2} J_{j-1}(2 \text{ SQR}(kt))$
$\exp(-k \text{ SQR}(p))/p$	$k \geq 0$	$\text{erfc}(k/2\text{SQR}(t))$
$\exp(-k\text{SQR}(p))/\text{SQR}(p)$	$k \neq 0$	$\exp(-k^2/4t)/\text{SQR}(\pi t)$
$\exp(k/p)/p^j$	$j > 0$	$(t/k)^{(j-1)/2} I_{j-1}(2\text{SQR}(kt))$

una tabla mas extensa puede ser consultada en la REF.7

- R.1 NUMERICAL ANALYSIS
RICHARD L. BURDEN
J. DOUGLAS FAIRES
THIRD EDITION
PRINDLE, WEBER SCHMIDT
BOSTON
- R.2 CHEMICAL ENGINEERING KINETICS
J.M. SMITH
SECOND EDITION
Mc GRAW-HILL
- R.3 G.F. PROMENT, IND.ENG.CHEM., 59, 18(1967)
FIXED BED CATALYTIC REACTORS
- R.4 PARTIAL DIFFERENTIAL EQUATIONS
THEORY AND TECHNIQUE
GEORGE P. CARRIER
CARL E. PEARSON
ACADEMIC PRESS NY. SAN FRANCISCO LONDON 1976
- R.5 MATHEMATICAL METHODS IN CHEMICAL ENGINEERING
FIRST ORDER PARTIAL DIFFERENTIAL EQUATION WITH
APPLICATIONS
RUTHERFORD ARIS
NEAL R. AMUNDSON
VOL. 2
PRENTICE-HALL INC.

- R.6 BASIC HEAT TRANSFER
E. NECATI OZISIK
Mc GRAW-HILL
- R.7 APPLIED MATHEMATICS IN CHEMICAL ENGINEERING
HAROLD S. MICKLEY
THOMAS K. SHERWOOD
CHARLES E. REED
SECOND EDITION
Mc GRAW-HILL.
- R.8 PARTIAL DIFFERENTIAL EQUATIONS FOR
SCIENTISTS AND ENGINEERS
STANLEY J. PARLOW
JOHN WILEY AND SONS
- R.9 ADVANCED ENGINEERING MATHEMATICS
C.R. WYLIE, Jr.
SECOND EDITION
Mc GRAW-HILL